



Stavebná fakulta STU v Bratislave

Ing. Soňa Gažíková

Autoreferát dizertačnej práce

OPTIMALIZÁCIA TEPELNÉHO HOSPODÁRSTVA S VYUŽITÍM VLASTNÝCH ENERGETICKÝCH ZDROJOV NA
BÁZE OZE

na získanie akademického titulu „philosophiae doctor“, v skratke „PhD.“

v doktorandskom študijnom programe: 3136 Teória a technika prostredia budov

v študijnom odbore: Stavebníctvo

Forma štúdia: denná

Miesto a dátum: Bratislava, 2021

Dizertačná práca bola vypracovaná na

Stavebnej fakulte Slovenskej technickej univerzity v Bratislave

Predkladateľ: **Ing. Soňa Gažíková**

Stavebná fakulta STU v Bratislave
Katedra technických zariadení budov
Radlinského 11, 810 05 Bratislava

Školiteľ: **prof. Ing. Ján Takács, PhD.**

Stavebná fakulta STU v Bratislave
Katedra technických zariadení budov
Radlinského 11, 810 05 Bratislava

Oponenti: **prof. Ing. František Urban, PhD.**

Strojnícka fakulta STU v Bratislave
Ústav energetických strojov a zariadení
Námestie slobody 17, 812 31 Bratislava

doc. Ing. František Vranay, PhD.

Stavebná fakulta TUKE v Košiciach
Ústav pozemného stavitelstva
Letná 1/9, 040 01 Košice

Ing. Marek Bukoviansky, PhD.

tzBIM s.r.o.
Trnavská cesta 26, 821 08 Bratislava

Autoreferát bol rozoslaný: 13. 7. 2021

Obhajoba dizertačnej práce sa bude konať dňa:..... 8. 2021

o.....h, na Katedre technických zariadení budov Stavebnej fakulty STU v Bratislave

prof. Ing. Stanislav Unčík, PhD.
dekan stavebnej fakulty STU v Bratislave

ABSTRAKT

V mojej dizertačnej práci som sa zaoberala problematikou využívania geotermálnej energie v rámci teplovodnej kotolne Stred I. vo Veľkom Mederi. Dizertačná práca mala viacero cieľov a to – analýzu meraných údajov z tejto kotolne a simulácií na tomto systéme, na základe ktorých sa vyhodnotila prevádzka tohto systému. Simulácie boli vytvorené v programe ANSYS.

Ďalším cieľom dizertačnej práce, ktorý sa už ale netýka hodnotenia prevádzky teplovodnej kotolne bolo vytvorenie internetovej mapy s údajmi o geotermálnych vrtoch na Slovensku s využitím Google Earth Pro.

Súčasťou tejto dizertačnej práce je aj mnou vytvorená mobilná aplikácia pre výpočet základných energetických parametrov geotermálnej energie, ktorými sú využiteľné množstvo geotermálnej energie, využiteľný energetický potenciál a využiteľné množstvo geotermálnej energie.

Kľúčové slová: geotermálna energia, sústava centralizovaného zásobovania teplom, simulácie, energetická analýza, analýza prevádzky, mapa geotermálnych vrtov, mobilná aplikácia

ABSTRACT

In my dissertation I dealt with the issue of usage of the geothermal energy in the hot water boiler room Stred I. in Veľký Meder. The dissertation had several goals - the analysis of measured data from this boiler room and the creation of simulations on this system, based on which the operation of this system was evaluated. The simulations were created in ANSYS.

Another goal of the dissertation, which no longer concerns the evaluation of the hot water boiler room operation, was the creation of an Internet map with data on geothermal wells in Slovakia using Google Earth Pro.

Part of this dissertation is also a mobile application for the calculation of basic energy parameters of geothermal energy, which are the usable amount of geothermal energy, usable energy potential and usable amount of geothermal energy.

Key words: geothermal energy, centralized heat supply system, simulations, energy analysis, operation analysis, map of geothermal drills, mobile application.

OBSAH

ABSTRAKT	3
ABSTRACT	4
1. Úvod	7
2. Ciele dizertačnej práce	8
3. Metodika spracovania dizertačnej práce	8
4. Experimentálne merania	9
4.1 Ciel meraní	9
4.2 Metodika meraní	10
4.3 Výsledky experimentálnych meraní	12
4.4. Analýza meraní	17
4.4.1 Zimné obdobie.....	17
4.4.2 Letné obdobie.....	18
4.4.4 Návrh riešení pre zlepšenie prevádzky.....	18
4.5 Čiastkový záver	19
5. Simulácie	19
5.1 Ciel simulácií.....	19
5.2 Metodika riešenia simulácií.....	20
5.3 Výsledky simulácie.....	20
5.5 Analýza výsledkov.....	23
5.5.1 Analýza výsledkov pre simulácie v zimnom období	23
5.5.2 Analýza výsledkov pre simulácie v letnom období.....	24
5.5.3 Návrh riešenia.....	25
5.4 Čiastkový záver	25
6. Mapa geotermálnych vrtov	25
6.1 Ciel vytvorenia mapy	25
6.2 Metodika práce	26
6.1 Výsledná mapa	26
7. Mobilná aplikácia pre výpočet energetických parametrov GTV	27
7.1 Ciel vytvorenia aplikácie.....	27
7.2 Metodika tvorby aplikácie	27
7.3 Výsledná aplikácia	28
8. Prínosy dizertačnej práce	28

STU

8.1 Prínosy pre vedný odbor	29
8.2 Prínosy pre technickú a spoločenskú prax	29
9. Záver	30
Knihy a monografie	31
Zahraničné odborné články	32
Odborné články dostupné na internete, zborníky a články z časopisov	35
Normy, vyhlášky, zákony, smernice	38
Internetové zdroje, firemná literatúra a ostatné zdroje	39
Zoznam publikovaných prác	41

1. Úvod

Spotreba energie má po celom svete stúpajúci charakter. Pri čoraz rýchlejšom tempe vývoja energetickej situácie na území Slovenska, ale aj vo svete je veľmi dôležité využívať aj obnoviteľné zdroje energie, nakoľko využitie fosílnych palív nestačí pokrývať energetický dopyt a taktiež má aj negatívny dopad na životné prostredie. Európska únia, ktorej súčasťou je aj Slovenská republika, kladie veľký dôraz na využívanie obnoviteľných zdrojov energií kvôli energetickej bezpečnosti, zníženiu množstva emisií a skleníkových plynov a taktiež aj kvôli zníženiu závislosti členských krajín na dovoze energií.

Jednou zo základných priorít energetickej politiky Slovenskej republiky je zvyšovanie podielu obnoviteľných zdrojov energie na výrobe elektrickej a tepelnej energie z rôznych typov takýchto energetickej zdrojov tak, aby bolo zabezpečené celkové krytie domáceho dopytu po energiách. OZE prispievajú k diverzifikácii a posilňovaniu štruktúry priemyslu a poľnohospodárstva, podporujú rozvoj a taktiež aj inováciu informačných technológií, otvárajú priestor pre nové smerovania. Racionálny manažment domáčich OZE je v súlade s princípmi trvalo udržateľného rozvoja. Na Slovensku sa ako obnoviteľné zdroje energie využívajú biomasa, vodná, slnečná, geotermálna a veterná energia.

Podiel obnoviteľných zdrojov energie na hrubej koncovej spotrebe energií v rámci Európskej Únie dosiahol v roku 2018 hodnotu 18,9 %. Cieľovou hodnotou pre koniec roka 2020 je 20 % a predpokladaný nárast využívania obnoviteľných zdrojov energie pre celú EÚ by mal za nasledujúcich 10 rokov byť 7 %, teda výsledná predpokladaná hodnota využívania OZE v EÚ by mala v roku 2030 narásť na 27 %.

Na území Slovenskej republiky bol vývoj využívania obnoviteľných zdrojov energie nasledovný – využívanie OZE až do roku 2015 ráslo postupne na hodnotu 12,9 %, avšak v roku 2016 využívanie týchto zdrojov na našom území mierne pokleslo na hodnotu 12,0 %. A následne sa znížovalo využívanie obnoviteľných zdrojov energie v roku 2017 na 11,5 %. Od roku 2018 sa podiel OZE na domácej produkcií energií opäť zvyšuje pričom v tomto roku dosiahol hodnotu 11,9 % a predpokladaným navrhnutým cieľom je 14 % pre koniec roka 2020 [82]. Tento cieľ sa nakoniec nielenže podarilo naplniť, ale aj prekročiť na hodnotu 16,9 %. Táto dizertačná práca sa zaobrá využívaním geotermálnej energie, a preto v ďalších kapitolách a podkapitolách už nebudú spomínané obnoviteľné zdroje energie všeobecne, ale len geotermálna energia ako konkrétny obnoviteľný zdroj energie.

2. Ciele dizertačnej práce

Cieľom tejto dizertačnej práce je analyzovať a vyhodnotiť využívanie geotermálnej energie v geotermálnom energetickom systéme vo Veľkom Mederi v kotolni Stred I. a následne navrhnúť optimalizáciu tejto prevádzky na základe meraní na tomto systéme a na základe simulácií priebehu teplôt v doskovom výmenníku tepla s označením VT. Ďalšími cieľmi tejto dizertačnej je vytvorenie mapy geotermálnych vrtov spolu s popisom ich parametrov a mobilnej aplikácie pre výpočty základných energetických parametrov geotermálnych vôd.

Ciele sú nasledovné:

1. Na základe experimentálnych meraní a ich spracovania analyzovať a vyhodnotiť prevádzku GES vo Veľkom Mederi.
2. Vytvorenie simulácií rozloženia teplôt v doskovom výmenníku tepla s označením VT a tiež simulácia zmeny teploty geotermálnej vody odchádzajúcej zo systému pri menených okrajových podmienkach.
3. Vytvorenie mapy geotermálnych vrtov na Slovensku spolu s popisom ich základných parametrov.
4. Vytvorenie mobilnej aplikácie pre výpočty základných energetických parametrov zdrojov geotermálnych vôd.

3. Metodika spracovania dizertačnej práce

V rámci dizertačnej práce je potrebné aj k jednotlivým cieľom doplniť metodiku spracovania týchto cieľov. Metodika spracovania týchto cieľov je nasledovná:

Ciel č. 1:

Pomocou zabudovaných prietokomerov a teplomerov v teplovodnej kotolni Stred I. budú merané potrebné veličiny (teploty a prietoky v jednotlivých miestach znázornených na schéme meracích bodov v kapitole 4) pre výpočet a následné zhodnotenie hospodárnosti tejto prevádzky, ktorá využíva geotermálnu energiu pre výrobu tepla a prípravu teplej vody pre 1 600 bytov a okolité nebytové objekty. Namerané údaje boli zaznamenané pomocou softvéru Niagara Network, odkial som ich aj zozbierala, keďže som mala vzdialený prístup k tomuto softvéru kvôli panémii covid-19 a samozrejme som bola v tejto kotolni aj pár krát osobne pred pandemickou situáciou.

Ciel č.2:

Hlavným nástrojom pre CFD simulácie v rámci dizertačnej práce je softvér ANSYS FLUENT. Tento softvér sa využíva pre simulácie tekutín, konkrétnie pre predpovedanie toku tekutín, prenosu tepla a hmoty v tekutinách, chemických reakciach a ďalších fyzikálnych a chemických javov, ktoré súvisia s tekutinami.

Postup tvorby CFD simulácií pozostáva z vytvorenia 3D modelu v Space Claim-e, ktorý je súčasťou balíka ANSYS, následne vytvoreni výpočtovej siete a zadaní okrajových podmienok a charakteristík, nastavení solvera a nakoniec zobrazení výsledkov simulácie.

Ciel č.3:

Mapa geotermálnych vrtov bude na základe rôznych geologických a hydrogeologických podkladov spracovaná tak, že najprv sa vytvorí tabuľka s jednotlivými údajmi ku geotermálnym vrtom, pre ktoré som si zistila aj zemepisné súradnice jednotlivých vrtov. Následne sa vytvorí mapu vrtov v Google Earth Pro, ktorú sa následne pridá aj na webovú stránku.

Ciel č.4:

Mobilnú aplikáciu pre výpočet základných energetických programov bude vytváraná v prostredí na tvorbu mobilných aplikácií s názvom Android Studio v programovacom jazyku Java. Aplikácia je funkčná len na mobilných zariadeniach využívajúcich operačný systém Android.

4. Experimentálne merania

V roku 2015 prebehla kompletná rekonštrukcia kotolne Stred I. vo Veľkom Mederi, pričom sa začal využívať ako hlavný zdroj tepla geotermálny vrt, do ktorého bolo v roku 2016 zabudované hlbinné ponorné čerpadlo s frekvenčným meničom otáčok pre lepšiu reguláciu čerpaného požadovaného množstva geotermálnej vody.

4.1 Ciel meraní

Cieľom experimentálnych meraní je na základe nameraných výsledkov zhodnotiť hospodárnosť využívania geotermálneho energetického systému vo Veľkom Mederi v rámci kotolne Stred I.

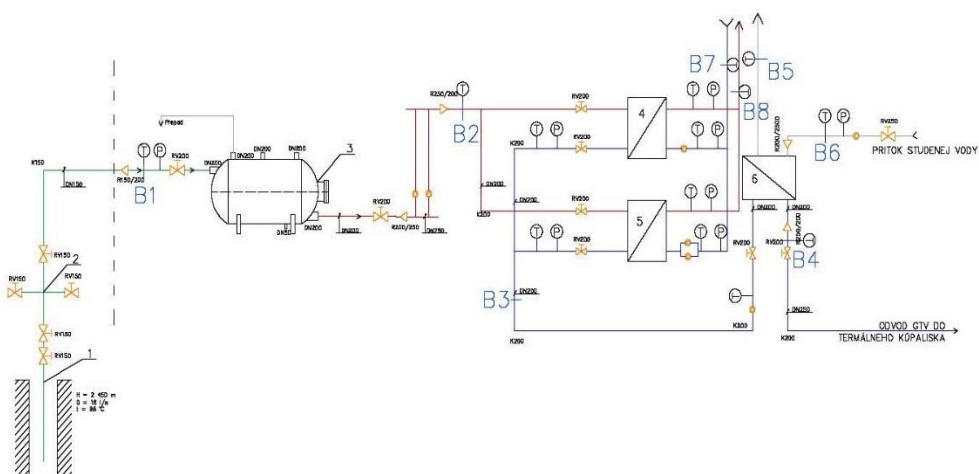
4.2 Metodika meraní

Pomocou zabudovaných prietokomerov a teplomerov v teplovodnej kotolni Stred I. boli merané potrebné veličiny pre výpočet a následné zhodnotenie hospodárnosti tejto prevádzky, ktorá využíva geotermálnu energiu pre výrobu tepla a prípravu teplej vody pre 1 600 bytov a okolité nebytové objekty. Namerané údaje boli zaznamenané pomocou softvéru Niagara Network, odkiaľ som ich aj zozbierala, keďže som mala vzdialený prístup k tomuto softvéru kvôli panémii covid-19 a taktiež som ich zozbierala aj počas osobných prehliadok v tejto kotolni ked' ešte nebola pandémia. Na obrázku 4.1 sa nachádzajú fotografie meračov zabudoavných v systéme.



Obr. 4.1 Zabudované meracie prístroje v potrubiah

Na nasledujúcom obrázku (Obr. 4.2) sa nachádza vyobrazená schéma meracích bodov. Posudzované meracie údaje sú zozbierané za mesiace január – marec a jún – december v roku 2020 a následne po mesiacoch rozdelené ako hodnoty pre posudzované zimné, letné a prechodné obdobie.



Obr. 4.2 Schéma meracích bodov geotermálneho energetického systému

III: S T U

Rozpis meraných veličín a popis jednotlivých meracích bodov je nasledovný:

- B1 – teplota GTV na hlave vrtu - Θ_o ($^{\circ}\text{C}$) a prietok geotermálnej vody - $m_{g\text{tv}}$ (l/s),
- B2 – teplota GTV po odplynení – Θ_2 ($^{\circ}\text{C}$), ktorá je teplonosnou látkou na primárnej strane doskových výmenníkov tepla VT1 a VT2,
- B3 – teplota GTV na výstupe primárnej strany doskových výmenníkov tepla – Θ_3 ($^{\circ}\text{C}$), pričom je to aj teplota geotermálnej vody, ktorá vstupuje na primárnej strane do výmenníka tepla VT, ktorý slúži pre I. stupeň predohrevu SV,
- B4 – teplota GTV vystupujúcej z teplovodnej kotolne Stred I. – Θ_4 ($^{\circ}\text{C}$),
- B5 – teplota vody na výstupe sekundárnej strany doskového výmenníka tepla VT – Θ_5 ($^{\circ}\text{C}$), ktorá je dopravovaná do zásobnej nádrže,
- B6 – teplota - Θ_{sv} ($^{\circ}\text{C}$) a prietok - m_{sv} (l/s) SV vystupujúcej na sekundárnej strane do doskového výmenníka tepla VT,
- B7 – teplota vykurovacej vody – Θ_7 ($^{\circ}\text{C}$), vystupujúcej do okruhu doskových výmenníkov tepla na sekundárnej strane,
- B8 - teplota vykurovacej vody vystupujúcej z okruhu doskových výmenníkov tepla na sekundárnej strane – Θ_8 ($^{\circ}\text{C}$),
- ďalším meraným parametrom bola aj vonkajšia teplota – Θ_e ($^{\circ}\text{C}$).

Vzorce pre výpočet energetických aspektov geotermálnych vôd sú nasledovné:

- využiteľné množstvo geotermálnej vody – M:

$$M = 24 \cdot n \cdot m_{g\text{tv}} \cdot V \cdot 3\,600 \cdot 10^{-3} \quad (\text{m}^3) \quad (4. 1)$$

- využiteľný energetický potenciál – Q':

$$Q' = m_{g\text{tv}} \cdot c_v \cdot \rho \cdot (\Theta_o - \Theta_r) \quad (\text{kW}) \quad (4. 2)$$

- využiteľné množstvo geotermálnej energie – E:

$$E = 24 \cdot m_{g\text{tv}} \cdot c_v \cdot \rho \cdot (\Theta_o - \Theta_r) \cdot n \cdot 10^{-3} \quad (\text{MWh}) \quad (4. 3)$$

- množstvo geotermálnej energie pripadajúcej na straty v rozvodoch – E₁:

$$E_1 = 24 \cdot m_{g\text{tv}} \cdot c_v \cdot \rho \cdot (\Theta_o - \Theta_2) \cdot n \cdot 10^{-3} \quad (\text{MWh}) \quad (4. 4)$$

::::: S T U

- užitočne využité množstvo geotermálnej energie - E_u :

$$E_u = 24 \cdot m_{gtv} \cdot c_v \cdot \rho \cdot (\Theta_2 - \Theta_4) \cdot n \cdot 10^{-3} \quad (\text{MWh}) \quad (4. 5)$$

- odpadové množstvo geotermálnej energie – E_o :

$$E_o = 24 \cdot m_{gtv} \cdot c_v \cdot \rho \cdot (\Theta_4 - \Theta_r) \cdot n \cdot 10^{-3} \quad (\text{MWh}) \quad (4. 6)$$

Kde:

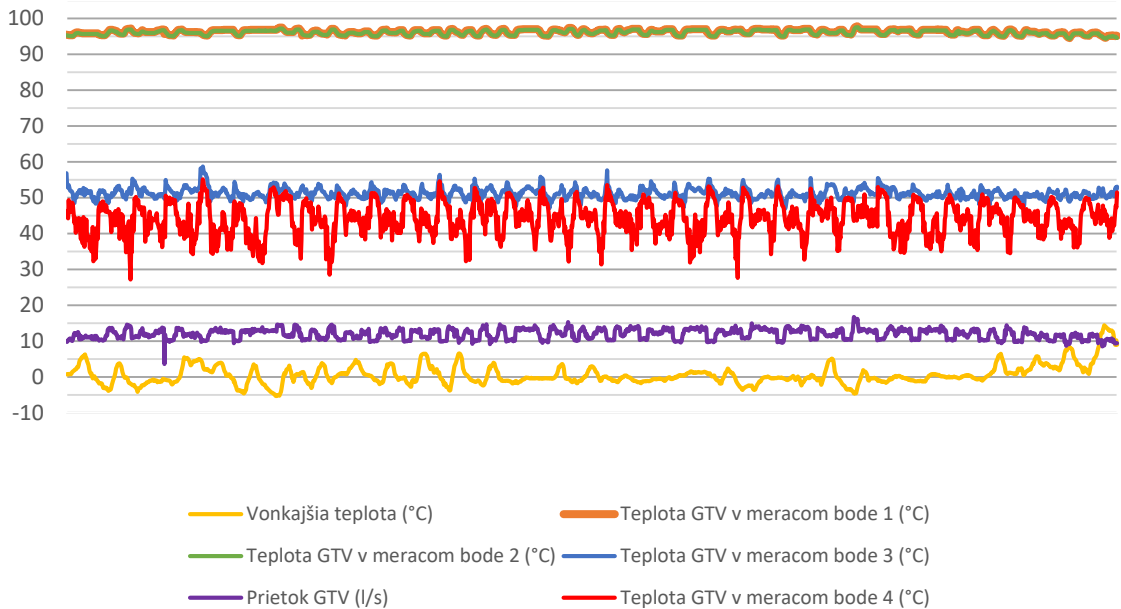
n – počet dní explootácie	(d)
m_{gtv} – výdatnosť geotermálneho zdroja	(l/s)
V – špecifický objem geotermálnej vody	(m ³ /kg)
ρ – špecifická hustota	(kg/m ³)
c_v – špecifická tepelná kapacita geotermálnej vody	(kJ/ (kg . K))
Θ_o – teplota geotermálnej vody na hlate vrtu	(°C)
Θ_2 – teplota geotermálnej vody v meracom bode 2	(°C)
Θ_4 – teplota geotermálnej vody v meracom bode 4	(°C)
Θ_r – referenčná teplota ochladenia geotermálnej vody (otvorené systémy +15 °C, pri uzavretých systémoch sa rovná teplote ochladenej geotermálnej vody) [8].	

4.3 Výsledky experimentálnych meraní

Výsledky experimentálnych meraní sú rozdelené podľa toho, akým spôsobom je geotermálna voda v jednotlivých 3-mesačných obdobiach využívaná na zimné, letné a prechodné obdobie. V rámci autoreferátu je pre každé obdobie vybraný jeden mesiac, aj keď v rámci dizertačnej práce sú merané údaje pre všetky 3 mesiace v rámci jedného obdobia.

Zimné obdobie

Medzi dominantné mesiace pre zimné obdobie patria január, február a december. V tomto období sa geotermálna voda využíva na prípravu teplej vody a pre zásobovanie teplom a je čerpaná z vrtu VM-1 za pomoci hlbinného čerpadla s frekvenčným meničom otáčok. Na obrázku 4.3 sa nachádza priebeh nameraných veličín v mesiaci január 2020.

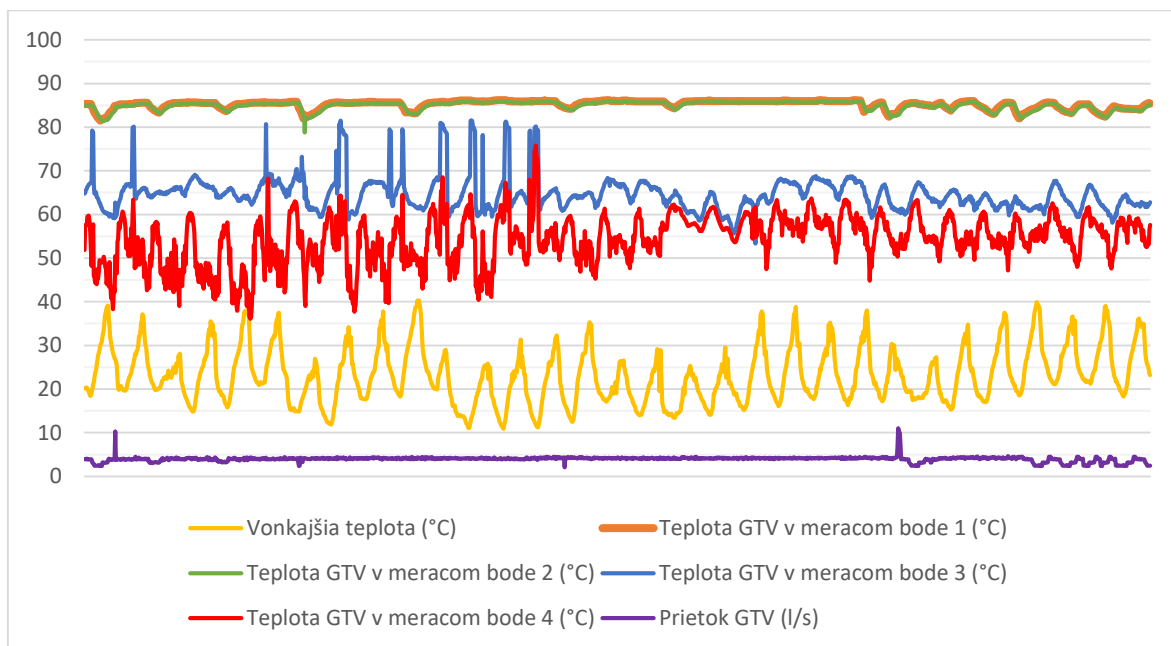


Obr. 4.3 Priebeh sledovaných hodnôt v mesiaci január 2020

Na základe obrázka 4.3 môžem konštatovať, že rozdiel medzi teplotou GTV čerpanou z vrtu (oranžová) a teplotou GTV po odplynení (zelená) je minimálny k čomu prispieva aj to, že geotermálny vrt sa nachádza v pomerne malej vzdialosti od kotolne Stred I. (33,0 m od budovy) a tiež to, že potrubné rozvody sú zaizolované. Teplota GTV vstupujúcej do výmenníka VT (modrá) sa pohybuje v rozsahu 48 – 55 °C a teplota odchádzajúcej GTV z tohto systému (červenou) sa pohybuje v rozpätí 32 – 53 °C, prietok geotermálnej vody v mesiaci ajnuár sa pohybuje v rozsahu 9-15 l/s. v závislosti od vonkajšej teploty a množstve dopravovanej GTV do systému pomocou hlbinného čerpadla s frekvenčným meničom.

Letné obdobie

V rámci letných mesiacov sa GE využíva na prípravu teplej vody vo všetkých odberných miestach. Medzi dominantné mesiace letného obdobia patria jún, júl a august 2020. Počas júna sa GTV z vrtu VM-1 čerpá pomocou hlbinného čerpadla, avšak počas júla a augusta sa GTV z vrtu získava voľným prelivom, teda čerpadlo je vypnuté. Na obrázku 4.4 sa nachádza priebeh meraných veličín v júli 2020.

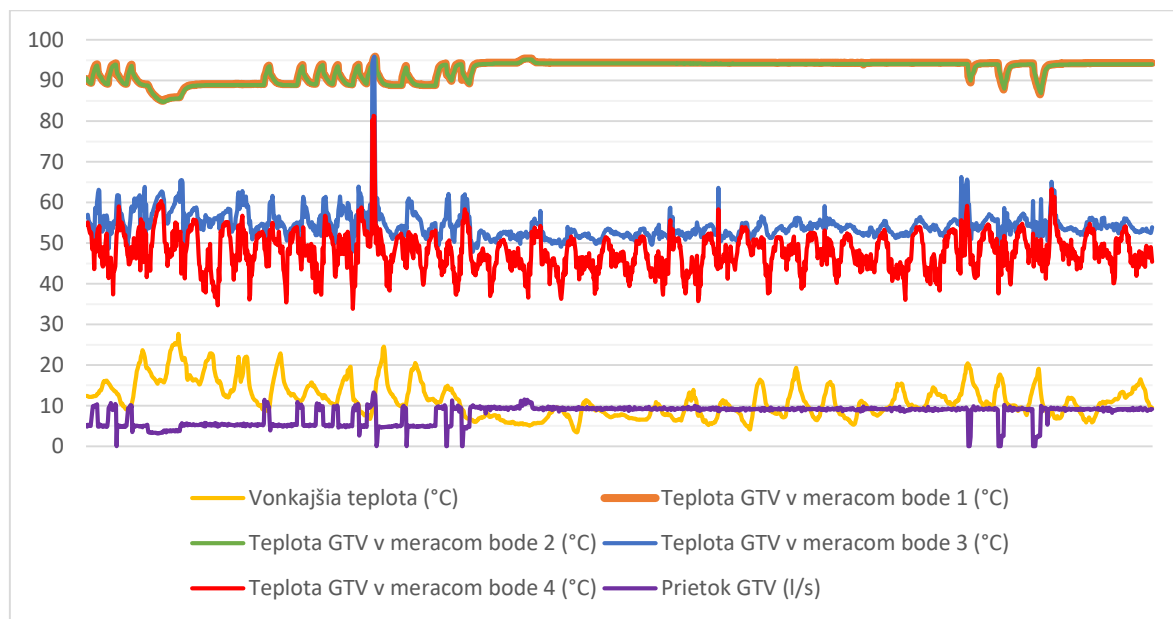


Obr. 4.4 Priebeh sledovaných hodnôt v mesiaci júl 2020

Obdobne ako v zimnom období aj v letnom období je rozdiel medzi GTV získavanou z vrtu a GTV po odplynení minimálny vďaka vhodnej zvolenej hrúbke izolácie potrubí a malej vzdialenosťi vrtu od kotolne. V letnom období je teplota odchádzajúcej vody zo systému kotolne Stred I. už vo vyššom rozsahu ako v zimnom období, pretože v lete sa geotermálna voda využíva len na prípravu teplej vody a tým pádom v tomto období je potrebné omnoho nižšie množstvo GE. Teplota GTV vstupujúcej do VT v júli 2020 sa pohybuje v rozsahu 58 – 80 °C, teplota opadovej GTV sa pohybuje v rozsahu 40 – 65 °C, prietok GTV sa pohybuje v tomto mesiaci v rozsahu 2- 5 l/s. V niektorých častiach grafu môžeme vidieť aj značný pokles v teplote GTV odchádzajúcej zo systému. Tento pokles sa vyskytuje najmä v nočných hodinách, kedy je menší dopyt po TV.

Prechodné obdobie

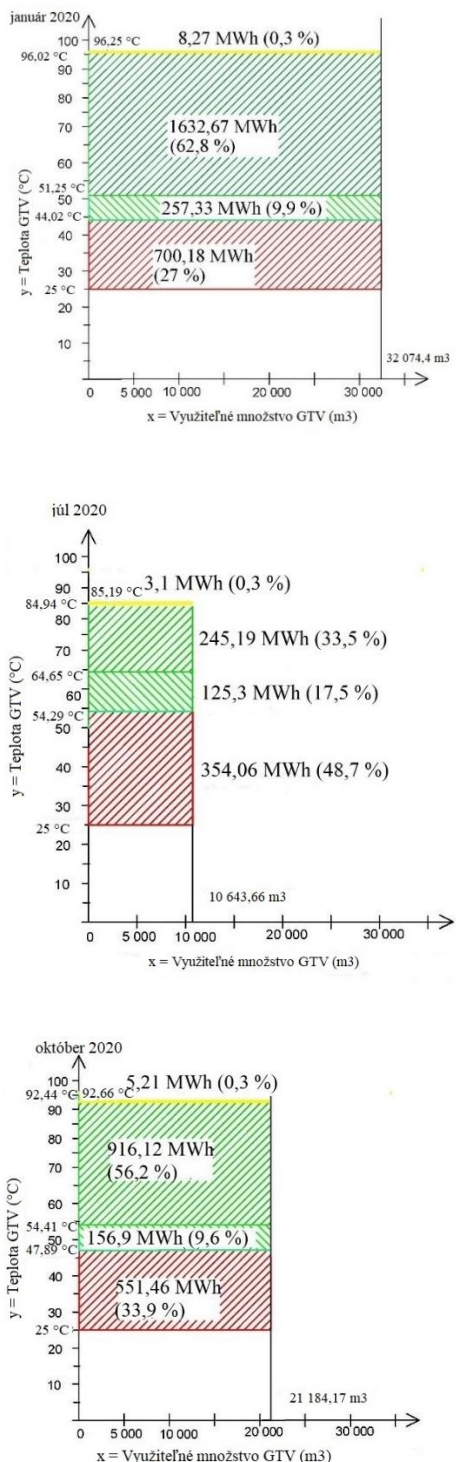
V rámci prechodného obdobia sa GE využíva na prípravu teplej vody počas celého obdobia a čiastočne aj pre zásobovanie teplom v prípade dní s vonkajšou teplotou nižšou ako 13 °C. V rámci autoreferátu som ako ukážkový mesiac zvolila október 2020. Od septembra sa GTV z vrtu VM-1 opäť získava čerpaním pomocou hlbinného čerpadla s frekvenčným meničom otáčok.



Obr. 4.5 Priebeh sledovaných hodnôt v mesiaci október 2020

Obdobne ako v zimnom a letnom období aj v prechodnom období je rozdiel medzi GTV získavanou z vrtu a GTV po odplynení minimálny (cca $0,2 - 0,4$ °C) vďaka vhodnej hrúbke izolácií potrubných rozvodov a malej vzdialenosťi vrtu od kotelne. V prechodnom období sa GE využíva nielen na prípravu teplej vody, ale v niektorých dňoch už aj pre zásobovanie teplom (táto skutočnosť je závislá od vonkajšej teploty). Teplota GTV vstupujúcej do VT sa pohybuje v rozsahu $50 - 60$ °C, teplota opadovej GTV sa pohybuje v rozsahu $38 - 52$ °C, prietok GTV sa pohybuje v tomto mesiaci v rozsahu 1- 10 l/s v závislosti od požiadavky na využitie množstvo GTV a od vonkajšej teploty. V niektorých častiach grafu môžeme vidieť aj značný pokles v teplote GTV odchádzajúcej zo systému. Tento pokles sa vyskytuje najmä v nočných hodinách, kedy je menší dopyt po TV.

Na základe nameraných hodnôt sme si vyrátali aj hodnoty pre celkové, užitočne využité a odpadové množstvo geotermálnej energie v jednotlivých mesiacoch, ktoré sú dobrým ukazovateľom hospodárenia s geotermálnym systémom v mesiacoch január, júl a október.



Obr. 4.6 Celkové, užitočné a odpadové množstvo GE v mesiacoch január, júl a október

Na obrázku 4.6 sa nachádza vyobrazenie celkového využiteľného množstva GE, užitočne využitého a odpadového množstva GE v jednotlivých mesiacoch v januári, júli a októbri v roku 2020. Z obrázkov vidíme, že užitočne využité množstvo GE predstavovalo v januári 1 890,01 MWh GE (72,7 %), v júli to bolo 370,5 MWh GE (51 %) a v októbri to bolo 1 073,01 MWh GE (65,8 %). Odpadového množstva GE bolo v januári 700,18 MWh GE (27 %), v júli to bolo 354,06 MWh GE (48,7 %) a v októbri to bolo 551,46 MWh GE (33,9 %). Z tejto skutočnosti môžeme konštatovať, že v zimnom a prechodnom období je GE využívaná relatívne optimálne, avšak v lete je treba túto prevádzku optimalizovať. Časť z odpadového množstva GE z kotelne Stred I. sa ešte ďalej využíva v iných systémoch – menších kotolniach a kúpalisku (avšak tieto systémy už nie sú predmetom skúmania v rámci tejto dizertačnej práce).

4.4. Analýza meraní

Hospodárenie s geotermálnou energiou v geotermálnom energetickom systéme vo Veľkom Mederi je z roka na rok optimálnejšie keďže každý rok sa pri prevádzke vychytávajú postupne nedostatky, avšak ešte stále je na tomto systéme čo vylepšovať, tak aby sa dosiahlo ešte hospodárnejších výsledkov, najmä počas letnej prevádzky, ktorá je najmenej optimalizovaná z hľadiska hospodárenia s geotermálnou energiou. Diskusiu k jednotlivým nameraným výsledkom je možné rozdeliť na tri menšie podkapitoly na základe vyhodnocovaných výsledkov vzhľadom na jednotlivé obdobia v roku, kedy sa menia požiadavky na využívanie geotermálneho zdroja a to na:

- diskusiu k nameraným výsledkom v zimnom období,
- diskusiu k nameraným výsledkom v letnom období,
- diskusiu k nameraným výsledkom v prechodnom období.

4.4.1 Zimné obdobie

Z meraných údajov a ich vyhodnotenia vyplýva, že využívanie geotermálnej energie počas zimných mesiacov v orku 2020 je optimálne, keďže miera využitia geotermálnej energie sa pohybuje okolo 70 % čo je priaznivá hodnota aj vzhľadom na to, že geotermálna energia sa ďalej ešte využíva vo vykurovacom systéme v poliklinike a v termálnom kúpalisku, avšak táto ďalšia skutočnosť nie je podstatou riešenia tejto dizertačnej práce. V rámci zimných mesiacov sa geotermálna energia v teplovodnej kotolini Stred I. využíva na vykurovanie

okolitých objektov (cca 1 600 bytov a ďalších administratívnych budov) a taktiež aj na prípravu teplej vody. Počas zimných mesiacov je v prevádzke aj hlbinné ponorné čerpadlo, ktorým sa geotermálna voda dopravuje do tohto systému, teda množstvo dopravovanej geotermálnej vody do systému je upravované podľa požiadaviek na potrebné množstvo geotermálnej vody.

4.4.2 Letné obdobie

Počas letných mesiacov (jún, júl a august) sa geotermálna voda z vrtu VM-1 využíva len na prípravu teplej vody. Avšak naroždiel od zimných mesiacov dosahuje miera využitia geotermálnej energie len 45 – 50 %, čo priaznivé rozhodne nie je. Geotermálna voda sa počas týchto mesiacov získava väčšinou voľným prelivom – júl a august a len v júni je v tomto období spustené hlbinné ponorné čerpadlo, čo tiež spôsobuje nehospodárnosť s využívaním geotermálnej energie, keďže množstvo privádzanej geotermálnej vody nie je okamžite regulované na základe okamžitých spotrebnych požiadaviek.

V rámci prechodného obdobia je využívanie GE vyhovujúce vtedy ak sa GE využíva aj na prípravu teplej vody a aj pre zásobovanie teplom. Pre zásobovanie teplom sa využíva v tých dňoch prechodného obdobia, kedy vonkajšia teplota poklesne pod 13 °C.

4.4.4 Návrh riešení pre zlepšenie prevádzky

Optimalizovať túto prevádzku pomáha práve hlbinné ponorné čerpadlo s frekvenčným meničom otáčok zabudované v geotermálnom vrte VM-1, ktoré je spustené od septembra do júna, avšak v júli a auguſte je geotermálna voda získavaná len voľným prelivom. Spotrebovaná elektrická energia na pohon ponorného hlbinného čerpadla nie je vysoká. Priemerný výkon tohto čerpadla predstavoval pre mesiace marec - jún 5 kW, a pre ostatné mesiace sa výkon hlbinného ponorného čerpadla s frekvenčným meničom otáčok pohyboval v rozsahu 6 – 16 kW.

Preto ako vhodnú možnosť optimalizácie tejto prevádzky vidím zníženie množstva dopravovanej GTV do tohto systému, ktorú môžeme dosiahnuť buď ručným znížením dopravovaného množstva GTV na hlave vrtu v letných mesiacoch kedy je vypnuté čerpadlo (po dohode s geológmi), prípadne spustením hlbinného čerpadla do prevádzky. Taktiež treba spomenúť aj to, že aj napriek tomu, že využívanie geotermálnej energie nie je vždy úplne optimálne, jej využitím sa zníži množstvo emisií vypúšťaných do ovzdušia, keďže

pôvodným zdrojom tepla v tejto teplovodnej kotolni boli kotle na zemný plyn, ktoré úplne nahradila geotermálna energia.

V rámci nasledujúcej kapitoly, ktorá sa zaobera simuláciami rozloženia teplôt v doskovom výmenníku tepla s označením VT pri rôznej zmene prietokov bude ukázané, či je navrhované riešenie pre zlepšenie prevádzky správne, nakoľko bude vidieť, či sa odpadová teplota z tohto GES znižuje pri takejto zmene alebo nie.

4.5 Čiastkový záver

Ked' si zhrnieme jednotlivé grafy a namerané údaje za jednotlivé mesiace v roku 2020 môžeme konštatovať, že využívanie GE v rámci zimného obdobia je optimálne, keďže okrem prípravy teplej vody sa GE využíva aj pre zásobovanie teplom narozdiel od letného obdobia kedy máme následne prebytok geotermálnej energie. V rámci prechodného obdobia je využívanie GE optimálne vtedy ak sa GE využíva aj na prípravu teplej vody a aj pre zásobovanie teplom. Hlbinné čerpadlo s frekvenčným meničom otáčok pomáha optimalizovať odberné množstvo GE z vrtu VM – 1 na základe vonkajšej teploty aj požiadavkám v distribučnej sieti. Avšak v mesiacoch júl a august je toto čerpadlo vypnuté a geotermálna voda je získavaná z vrtu VM-1 voľným prelivom.

5. Simulácie

Simulácie doskového výmenníka s označením VT v GES vo Veľkom Mederi som spracovala v simulačnom CFD programe ANSYS FLUENT. Tento program zo simulačného balíka ANSYS sa využíva pre simulácie fyzikálnych charakteristík v tekutinách, v mojom prípade som sa zaoberala simuláciami rozloženia teplôt vo výmenníku tepla s označením VT, ktorý slúži na predohrev teplej vody. Spracovala som dva typy simulácií jednu pre charakteristické dni počas letného obdobia a jednu pre zimné obdobie.

5.1 Cieľ simulácií

Cieľom simulácií je vytvoriť simulácie rozloženia teplôt v doskovom výmenníku tepla VT a taktiež aj simulácie zmeny priebehu výstupnej teploty GTv pri menených okrajových podmienkach.

5.2 Metodika riešenia simulácií

Tvorba simulácií v rámci programu ANSYS pozostáva z viacerých krokov a to:

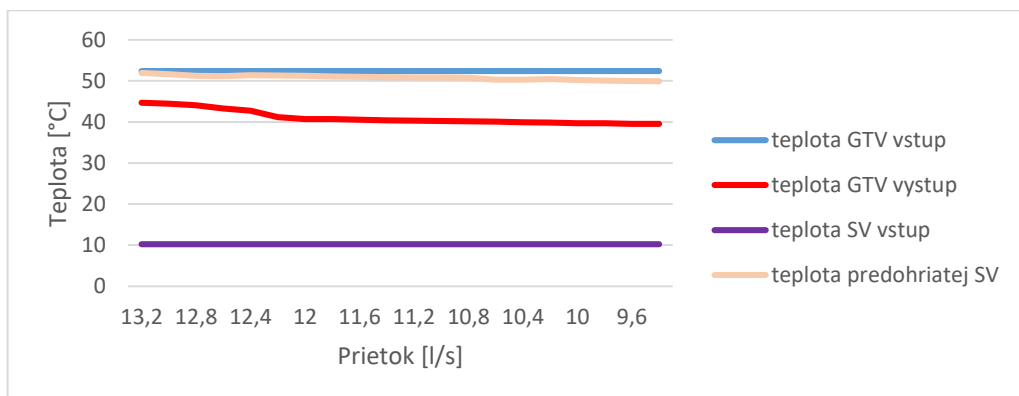
1. Vytvorenie 3D modelu simulovaného objektu – výmenníka tepla s označením VT v podprograme Space Claim-e.
2. Ďalším krokom je tvorba siete, ktorá zobrazuje jednotlivé elementárne plôšky, v ktorých dochádza k výpočtu nami zvolených parametrov.
3. Zadanie okrajových podmienok a riešenia pre solver (výpočtovú časť simulačného programu).
4. Vytvorenie a zobrazenie simulovaných charakteristík.

5.3 Výsledky simulácie

Výsledky simulácií som rozdelila na dva väčšie celky a to simulácie v rámci zimného a simulácie v rámci letného obdobia.

Simulácie v rámci zimného obdobia

Na obrázku 5.1 môžeme vidieť priebeh zmeny výstupných teplôt GTV na základe menených prietokov v simuláciách. Vstupné teploty zostávali nezmenené, menili sa len prietoky.



Obr. 5.1 - Zmena priebehu výstupných teplôt na základe zmeny prietoku v zimnom období

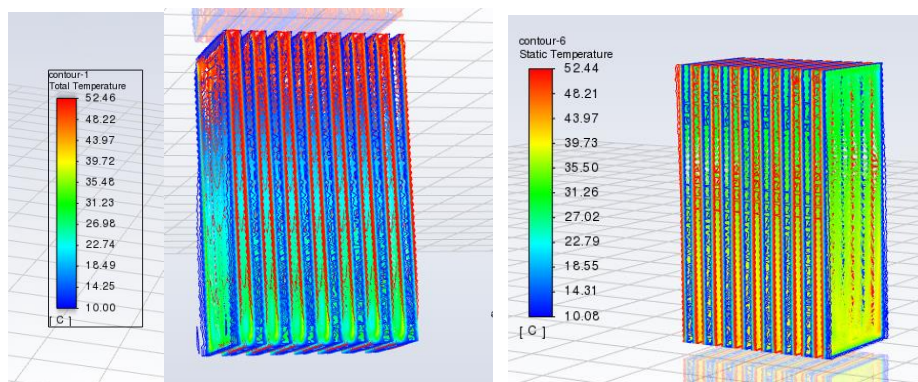
Na základe obrázka 5.1 môžem konštatovať, že pri znižovaní vstupného prietoku GTV dochádza aj k znižovaniu teploty odpadovej GTV. Ako vstupná teplota GTV bola zvolená nameraná teplota 52,4 °C, počiatočný prietok GTV bol 13,2 l/s. Ako vstupná hodnota SV bola zvolená teplota 10,2 °C a počiatočný prietok SV bol 3,24 l/s. V simulácii som menila v tomto prípade len prietok GTV.

Na nasledujúcom obrázku (Obr. 6.2) sa nachádza simulácia rozloženia teplôt v rámci doskového výmenníka tepla VT s nameranými hodnotami a jednou vybranou simulačnou alternatívou. Vstupné údaje pre pôvodný stav v rámci simulácie v zimnom období boli nasledujúce:

- vstupná teplota na primárnej strane – 52,4 °C,
- výstupná hodnota na primárnej strane – 44,7 °C,
- vstupná teplota na sekundárnej strane – 10,2 °C,
- výstupná hodnota na sekundárnej strane – 51,9 °C,
- vstupný prietok geotermálnej vody – 13,2 l/s,
- vstupný prietok studenej vody – 3,24 l/s.

Zmenené prietoky vstupujúce do alternatívy simulácie sú:

- vstupný prietok geotermálnej vody – 10,0 l/s,
- vstupný prietok studenej vody – 4,5 l/s.

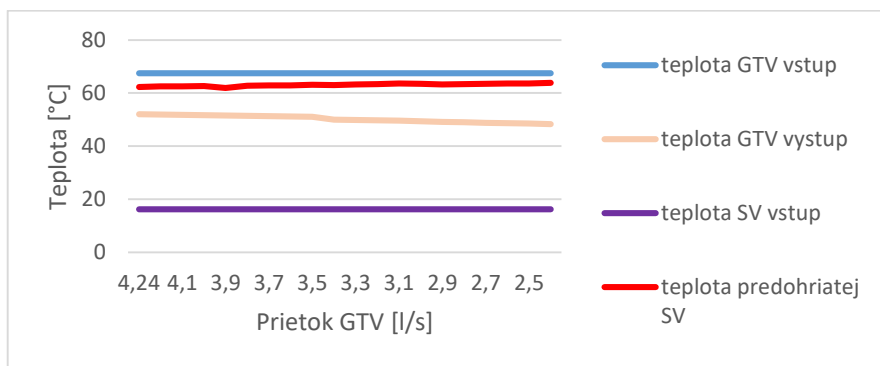


Obr. 5.2 - Rozloženie teplôt v doskovom výmenníku tepla VT v zime (vľavo – pôvodný stav, vpravo – zmenené okrajové podmienky)

Z obrázka 5.2 vidíme, že výstupná teplota GTV v pôvodnom stave bola 44,7 °C, avšak po znížení prietoku dopravovanej GTV a zvýšení prietoku studenej vody do výmenníka tepla dostaneme prizaninejší výsledok – teplota odpadovej vody bude 39,72 °C.

Simulácie v rámci letného obdobia

Na obrázku 5.3 môžeme vidieť priebeh zmeny výstupných teplôt GTV na základe menených prietokov v simuláciách v letnom období. Vstupné teploty zostávali nezmenené, menili sa len prietoky.



Obr. 5.3 - Zmena priebehu výstupných teplôt na základe zmeny prietoku v zimnom období

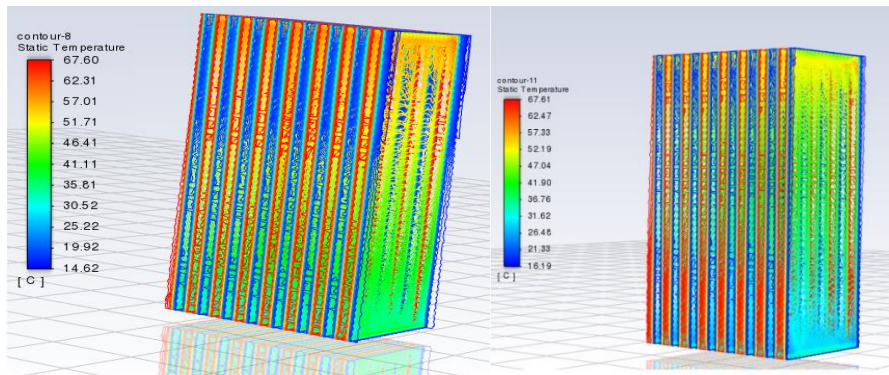
Na základe obrázka 5.3 môžeme konštatovať, že pri znižovaní vstupného prietoku GTV dochádza aj k znižovaniu teploty odpadovej GTV. Ako vstupná teplota GTV bola zvolená nameraná teplota 67,5 °C, počiatočný prietok GTV bol 4,24 l/s. Ako vstupná hodnota SV bola zvolená teplota 16,2 °C a počiatočný prietok SV bol 1,76 l/s. V simulácii som menila v tomto prípade len prietok GTV.

Na nasledujúcom obrázku (Obr. 5.4) sa nachádza simulácia rozloženia teplôt v rámci doskového výmenníka tepla VT s nameranými hodnotami a jednou vybranou simulačnou alternatívou v letnom období. Vstupné údaje pre pôvodný stav v rámci simulácie v letnom období boli nasledujúce:

- vstupná teplota na primárnej strane – 67,5°C,
- výstupná hodnota na primárnej strane – 54,0 °C,
- vstupná teplota na sekundárnej strane – 16,2 °C,
- výstupná hodnota na sekundárnej strane – 62,3 °C,
- vstupný prietok geotermálnej vody – 4,24 l/s,
- vstupný prietok studenej vody – 1,76 l/s.

Zmenené prietoky vstupujúce do alternatívy simulácie sú:

- vstupný prietok geotermálnej vody – 2,4 l/s,
- vstupný prietok studenej vody – 2,8 l/s.



Obr. 5.4 - Rozloženie teplôt v doskovom výmenníku tepla VT v lete (vľavo – pôvodný stav, vpravo – zmenené okrajové podmienky)

Z obrázka 5.4 vidíme, že výstupná teplota GTV v pôvodnom stave bola $54,0\text{ }^{\circ}\text{C}$, avšak po znížení prietoku dopravovanej GTV a zvýšení prietoku studenej vody do výmenníka tepla dostaneme prizaninejší výsledok – teplota odpadovej vody bude $48,32\text{ }^{\circ}\text{C}$.

5.5 Analýza výsledkov

V rámci simulácií som sa venovala simuláciám rozloženia teplôt v doskovom výmenníku tepla s označením VT. Cieľom simulácií bolo ukázať, že pri zmenách prietoku vstupujúcej geotermálnej vody a studenej vody do tohto výmenníka tepla sa dá znížiť teplota odpadovej geotermálnej vody zo systému teplovodnej kotle Stred I. vo Veľkom Mederi. Pre simulácie na tomto výmenníku tepla som sa rozhodla preto, lebo je to presne ten výmenník tepla, z ktorého na primárnej strane opúšťa teplovodnú kotolňu Stred I. odpadová geotermálna voda. Simulácie som robila v študentskej verzii programu ANSYS FLUENT. Vytvorila som viacero simulácií zvlášť pre zimnú a zvlášť pre letnú prevádzku.

5.5.1 Analýza výsledkov pre simulácie v zimnom období

V rámci zimnej prevádzky som vytvorila viacero simulácií, aby som vedela ukázať ako sa postupne pri zmene prietoku vstupujúcej geotermálnej aj studenej vody mení prietok a teplota výstupnej vody z doskového výmenníka tepla. Výsledky sú znázornené graficky a následne tri vybrané z týchto výsledkov aj vyobrazené ako 3D farebné modely s rozložením teplôt. Ako prvý je farebne vyobrazený pôvodný stav. Pričom vstupné hodnoty boli:

- vstupná teplota na primárnej strane – $\Theta_3 = 52,4\text{ }^{\circ}\text{C}$,

- vstupná teplota studenej vody na sekundárnej strane – $\Theta_{sv} = 10,2 \text{ } ^\circ\text{C}$,
- výstupná teplota na sekundárnej strane – $\Theta_5 = 51,9 \text{ } ^\circ\text{C}$,
- vstupný prietok geotermálnej vody – $m_{gtv} = 13,2 \text{ l/s}$,
- vstupný prietok studenej vody – $m_{stv} = 3,24 \text{ l/s}$.

Následne je vyobrazený variantný stav, pričom zmenené boli len prietoky vstupujúcej geotermálnej a studenej vody do výmenníka tepla nasledovne:

- vstupný prietok geotermálnej vody – 10,0 l/s,
- vstupný prietok studenej vody – 4,5 l/s.

Pri pôvodných podmienkach bola teplota geotermálnej vody odchádzajúcej z teplovodnej kotolne Stred I. $44,7 \text{ } ^\circ\text{C}$, po zmenenom variante klesla na $39,72 \text{ } ^\circ\text{C}$. Variantov bolo vytvorených viac, len tieto výsledky sú zhrnuté z 3D simulovaných modelov, ktoré boli vybrané na základe väčšieho množstva simulácií, ktorých výsledky boli zhrnuté v grafe.

5.5.2 Analýza výsledkov pre simulácie v letnom období

V rámci letnej prevádzky som takisto ako pri simuláciách v zimnej prevádzke vytvorila viacero simulácií, aby som vedela ukázať ako sa postupne pri zmene prietoku vstupujúcej geotermálnej aj studenej vody mení prietok a teplota výstupnej vody z doskového výmenníka tepla. Výsledky sú znázornené graficky a následne tri vybrané z týchto výsledkov aj vyobrazené ako 3D farebné modely s rozložením teplôt. Ako prvý je farebne vyobrazený pôvodný stav. Pričom vstupné hodnoty boli:

- vstupná teplota na primárnej strane – $\Theta_3 = 67,5 \text{ } ^\circ\text{C}$,
- vstupná teplota studenej vody na sekundárnej strane – $\Theta_{sv} = 16,2 \text{ } ^\circ\text{C}$,
- výstupná teplota na sekundárnej strane – $\Theta_5 = 62,3 \text{ } ^\circ\text{C}$,
- vstupný prietok geotermálnej vody – $m_{gtv} = 4,24 \text{ l/s}$,
- vstupný prietok studenej vody – $m_{stv} = 1,76 \text{ l/s}$.

Následne je vyobrazený variantný stav, pričom zmenené boli len prietoky vstupujúcej geotermálnej a studenej vody do výmenníka tepla nasledovne:

- vstupný prietok geotermálnej vody – 2,4 l/s,
- vstupný prietok studenej vody – 2,8 l/s.

Pri pôvodných podmienkach bola teplota geotermálnej vody odchádzajúcej z teplovodnej kotolne Stred I. $62,3\text{ }^{\circ}\text{C}$ a po zmenenom variante klesla ešte na $48,32\text{ }^{\circ}\text{C}$. Variantov bolo vytvorených viac, avšak tieto boli vybraté ako názorné ukážky v 3D. Najvhodnejším variantom pre nastavenie prietokov pre optimalizáciu prevádzky je práve 2. variant zmeny okrajových podmienok v rámci letnej prevádzky, keďže teplota odchádzajúcej GTV z tohto systému bola najnižšia.

5.5.3 Návrh riešenia

Ako je z výsledkov simulácií zrejmé, zníženie teploty odpadovej GTV sa dá dosiahnuť práve reguláciou prietoku GTV vstupujúcej do výmenníka tepla VT, ktorú je možné dosiahnuť znížením prietoku už na hlate vrto VM-1. Preto by bolo vhodné znížiť na základe dohody s geologickým ústavom prietok GTV v letných mesiacoch manuálne na hlate vrto. Znížením prietoku v letných mesiacoch by sa okrem dosiahnutia lepších výsledkov odpadovej GTV z geotermálneho energetického systému vo Veľkom Mederi dosiahlo aj značné predĺženie životnosti tohto systému.

5.4 Čiastkový záver

Zo simulácií som zistila, že v rámci optimalizácie a predĺženia životnosti systému by bolo vhodné v rámci tohto GES v letnej prevádzke znížiť objemový prietok GTV vstupujúcej do výmenníka tepla VT a teda aj celého systému a týmto spôsobom vlastne optimalizovať túto prevádzku.

6. Mapa geotermálnych vrtov

Ako súčasť dizertačnej práce som vytvorila aj mapu s geotermálnymi vrtmi, v ktorej sú okrem umiestnenia vrtov aj znázornené základné charakteristiky geotermálnych vrtov.

6.1 Ciel vytvorenia mapy

Cieľom vytvorenia mapy bolo sprístupniť prehľad geotermálnych vrtov vo forme aktuálnej mapy pre všetkých ľudí.

6.2 Metodika práce

Mapu geotermálnych vrtov som spracovala s pomocou geologických a hydrogeologických údajov a za pomoci Google Earth Pro. Tvorba mapy pozostávala z dvoch na seba nadväzujúcich krokov:

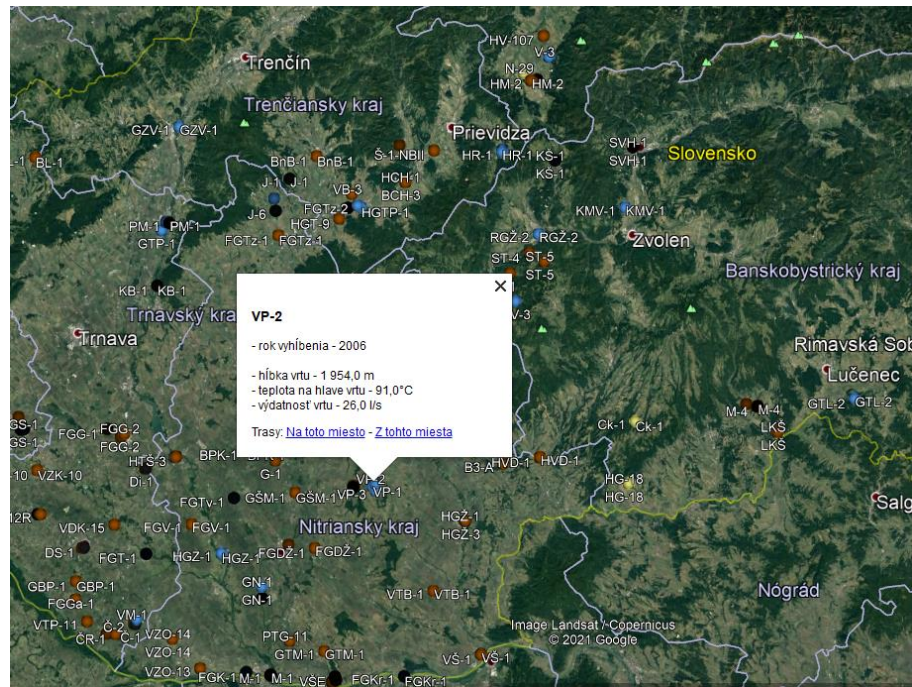
1. Vytvorenie tabuľky so základnými charakteristikami a lokáciou vrtov, ktorá slúžila ako podklad pre zadávanie údajov k jednotlivým vrtom
2. Vytvorenie mapy vrtov v google earth pro.

6.1 Výsledná mapa

Na základe vypracovanej mapy geotermálnych vrtov, môžem povedať, že v súčasnosti sa na Slovensku nachádza 172 zdokumentovaných geotermálnych vrtov, pričom ich teploty sa pohybujú v rozsahu 17,0 – 129,0 °C, hĺbky sú od 56,0 – do 4 000,0 m.

Tab. 6.1 – časť spracovanej tabuľky geotermálnych vrtov slúžiaci ako podklad pre mapu geotermálnych vrtov

Poradové číslo	Označenie vrtu	Lokalita	Súradnice - šírka	Súradnice - dĺžka	Rok vyhľbenia	Hĺbka	Teplota na hľave vrtu	Výdatnosť
			W	L		1	Θ_0	m_0
			(° ' ")	(° ' ")		(m)	(°C)	(l/s)
128	RK-22	Rajec	49°05'41"	18°38'06"	1974	1308	27,0	22,0
129	RKZ-1	Bátka	48°22'47"	20°11'37"	1989	658	-	-
130	RTŠ-1	Kamenná Poruba	49°06'05"	18°41'25"	1991	1830	41,0	13,4
131	S-1	Šipice	49°09'13"	19°09'09"	1968	83	20,0	1,0
132	S-21	Strešava	48°34'58"	22°03'15"	1972	3738	55,0	0,3
133	SB-1	Patince	47°44'50"	18°18'30"	1959	226	26,0	29,1
134	SB-2	Patince	47°44'51"	18°18'30"	1972	160	27,0	45,0
135	SB-3	Patince	47°44'51"	18°18'33"	1982	170	26,0	29,4



Obr. 6.1 Mapa geotermálnych vrát v Google Earth pro so zobrazením údajov o vrte.

7. Mobilná aplikácia pre výpočet energetických parametrov GTV

V rámci dizertačnej práce som vytvorila aj mobilnú aplikáciu pre výpočty základných energetických parametrov geotermálnych vôd. Aplikáciu je možné stiahnuť pod názvom Geotermia v Google Play Store.

7.1 Cieľ vytvorenia aplikácie

Cieľom vytvorenia aplikácie s názvom Geotermia je uľahčenie a urýchlenie výpočtu základných energetických parametrov geotermálnej vody, medzi ktoré patria:

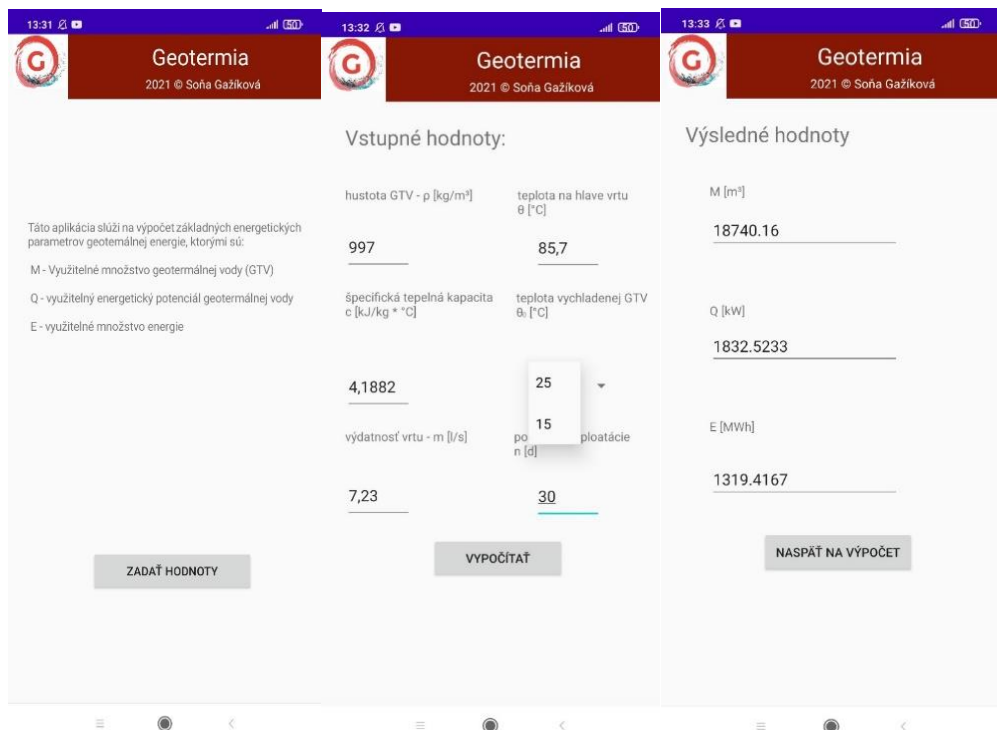
- M – využiteľné množstvo geotermálnej vody [m^3],
- Q – energetický potenciál geotermálnej vody [kW],
- E – využiteľné množstvo geotermálnej energie [MWh].

7.2 Metodika tvorby aplikácie

Mobilnú aplikáciu s názvom geotermia som vytvorila vo vývojarskom prostredí Android Studio, ktoré slúži na programovanie aplikácií pre smartfóny s operačným systémom Android. Aplikácia je programovaná v programovacom jazyku Java.

7.3 Výsledná aplikácia

Mobilná aplikácia beží postupne v troch na seba nadvádzajúcich oknách, ktoré sú zobrazené na obrázku 7.1.



Obr. 7.1 – Vzhľad aplikácie

V mobilnej aplikácii môžeme vstupné hodnoty ľubovoľne prepisovať podľa reálnych hodnôt. Po ich zadaní stačí kliknúť na tlačidlo vypočítať. Ak sa chceme vrátiť a upraviť po výpočte ešte vstupné hodnoty, netreba aplikáciu púšťať nanovo, ale len kliknú na tlačidlo naspäť na výpočet.

8. Prínosy dizertačnej práce

Dosiahnuté výsledky, ku ktorým sme dospeli pri riešení problematiky dizertačnej práce s názvom „Optimalizácia tepelného hospodárstva s využitím vlastných energetických zdrojov na báze OZE“ môžeme zhrnúť s dôrazom na ich uplatnenie nielen v rámci rozvoja vedy, ale aj v rámci spoločenskej praxe.

8.1 Prínosy pre vedný odbor

Prínosy tejto dizertačnej práce pre ďalší rozvoj vedy vyplývajúce z tejto dizertačnej práce sú nasledovné:

1. Analýza súčasného stavu problematiky – rieši súčasný stav využívania geotermálnej energie a systémov CZT.
2. Analýzou a vyhodnotením experimentálnych meraní som prišla k záveru, že prevádzku geotermálneho energetického systému je možné optimalizovať relatívne jednoduchým spôsobom a to zlepšením regulácie množstva dopravovanej geotermálnej vody do tohto systému. Obdobne by sa dalo pracovať aj so zlepšením podmienok prevádzky aj iných nie úplne vyhovujúcich prevádzok na Slovensku.
3. CFD simulácie nám poskytujú informácie o tom, že systém je možné optimalizovať tak, aby sa zvýšilo využívanie geotermálnej energie v systéme a znížilo sa množstvo odpadovej energie odchádzajúcej zo systému.

8.2 Prínosy pre technickú a spoločenskú prax

Prínosy tejto dizertačnej práce pre technickú a spoločenskú prax vyplývajúce z tejto dizertačnej práce sú nasledovné:

1. Obsah práce a analýza stavu problematiky je informatívnym materiálom pre všetkých ľudí z oblasti technickej aj spoločenej praxe.
2. Výsledky experimentálnych meraní a následná optimalizácia systému pomocou simulácie sa dá obdobne preveriť pre rôzne výmenníky tepla, ktoré využívajú geotermálnu energiu na primárnej strane, pričom môžu pomôcť pri optimalizácii prevádzok.
3. Mapa geotermálnych vrtov poskytuje prehľadné základné informácie o geotermálnych vrtoch na Slovensku spolu so zobrazením ich umiestnenia v rámci Slovenska.
4. Mobilná aplikácia pre základné energetické výpočty geotermálnych vôd je pomocníkom pre rýchle výpočty energetických parametrov akéhokoľvek zdroja geotermálnej vody, ak poznáme jeho základné parametre.

9. Záver

Predkladaná dizertačná práca sa zaobrá analýzou hospodárnosti využívania geotermálnej vody v rámci teplovodnej kotolne Stred I. vo Veľkom Mederi na základe meraných údajov získaných cez vzdialený prístup do databázy Niagara Networks, ktorá slúži na ukladanie meraných dát a kontrolu stavu celého systému. Geotermálna voda sa sice ešte ďalej využíva v menšej kotolni a termálnom kúpalisku, avšak toto nie je riešením tejto dizertačnej práce.

Najskôr boli zanalyzované merané údaje a na základe ich spracovania bola vyhodnotená hospodárnosť využívania geotermálnej vody. Údaje boli rozdelené do troch typov a to na údaje zo zimného, letného a prechodného obdobia. Toto rozdelenie bolo vytvorené na základe toho, akým spôsobom sa geotermálna voda využíva v tomto systéme. Z vyhodnotených údajov som zistila nasledujúce skutočnosti:

- V rámci zimnej prevádzky, kedy sa geotermálna voda využíva na prípravu teplej vody aj vykurovanie a je spustené hlbinné ponorné čerpadlo s frekvenčným meničom otáčok, je využívanie geotermálnej vody hospodárne, keďže jej miera využitia sa pohybuje okolo 70 - 75 %.
- V rámci letnej prevádzky nie je využívanie geotermálnej vody veľmi hospodárne, jej miera využitia sa pohybuje okolo 45 - 50 %. Avšak v rámci letnej prevádzky sa geotermálna voda využíva len na prípravu teplej vody a hlbinné čerpadlo s frekvenčným meničom otáčok nie je v prevádzke, teda geotermálna voda sa získava len voľným prelivom.
- V rámci prechodného obdobia je využívanie geotermálnej energie vychovujúce vtedy ak sa GE využíva aj na prípravu teplej vody a aj pre zásobovanie teplom. Pre zásobovanie teplom sa využíva v tých dňoch prechodného obdobia, kedy vonkajšia teplota poklesne pod 13 °C.

Po spracovaní a vyhodnotení meraných údajov nasledovali simulácie rozloženia teplôt v doskovom výmenníku tepla s označením VT. Tento výmenník bol vybraný preto, lebo je to výmenník tepla, ktorý slúži na predohrev teplej vody a teda je to výmenník, do ktorého je priamo na vstupe sekundárnej strany dopravovaná studená voda, ktorá sa tu zmiešava s geotermálnou vodou a tiež výstup na primárnej strane tvorí odpadová geotermálna voda. Najprv som urobila simulácie pre namerané údaje a následne pre údaje, pri ktorých som menila vstupné prietoky na primárnej aj sekundárnej strane. Zistila som, že pri zmene prietoku je možné dostať nižšiu teplotu geotermálnej vody, ktorá odchádza z tohto systému.

Na základe zhodnotenia spracovaných meraných údajov a výsledkov simulácie som teda prišla k záveru, že prevádzku je možné optimalizovať zmenou prietoku geotermálnej vody v systéme najmä počas letných mesiacov.

V rámci tejto dizertačnej práce boli spracované aj dva ďalšie ciele, ktoré sa ale netýkajú už analýzy a optimalizácie prevádzky v geotermálnom energetickom systéme vo Veľkom Mederi. Tieto splnené ciele boli:

- Vytvorenie mapy geotermálnych vrátok spolu s popisom ich základných parametrov, ktoré sa zobrazia po kliknutí na konkrétny vrt na tejto mape. Link na internetovú stránku, na ktorom je možné túto mapu nájsť: <https://gtvrty.000webhostapp.com>.
- Vytvorenie mobilnej aplikácie pre výpočet základných energetických parametrov geotermálnych vôd. Táto aplikácia je optimalizovaná len pre telefóny s operačným systémom Android a pod názvom Geotermia je voľne dostupná na Google Play Store.

Knihy a monografie

- [1] KUBIK, M. *The future of geothermal energy*. Massachusetts: Massachusetts Institute of Technology. 2006. 375 strán. ISBN: 0-615-13438-6.
- [2] BLODGETT, L. – SLACK, K. *Basics of geothermal energy production and use*. [online]. Washington, Geothermal energy association. 2009. 55 strán. Dostupné na internete: http://www.geothermalcommunities.eu/assets/elearning/7.15.geo_101.pdf
- [3] LULKOVÍČOVÁ, O. – TAKÁCS, J. 2007. *Netradičné zdroje energie-prednášky*. Bratislava : JAGA GROUP s.r.o.. 2003. 138 s. ISBN 80-227-1838-6.
- [4] CAPONIGRO, M. – HUSIKA, A. 2011. *Handbook on renewable energy sources*. [online]. Ener Suply, 2011. 157 s. Dostupné na internete :
[<http://www.ener-supply.eu/downloads/ENER_handbook_en.pdf>](http://www.ener-supply.eu/downloads/ENER_handbook_en.pdf).
- [5] TURCOTTE, D. L. – SCHUBERT, G. *Geodynamics 2nd edition*. Cambridge: Cambridge University press, 2002. 137 strán. ISBN: 978-0-521-66624-4.
- [6] DIPIPO, R. *Geothermal power plants: principles, applications, case studies and environmental impact*. Oxford :Elsevier Ltd, 2012. 585strán. ISBN: 978-0-08-0982069.
- [7] GNANESWAR, V. G. *Renewable energy powered desalination handbook*. Woburn: Elsevier-Health Sciences Division, 2018. 622 strán. ISBN: 978-0-128-15244-7.

- [8] PETRÁŠ, D. – LULKOVICOVÁ, O. – TAKÁCS, J. – FÜRI, B. 2009. *Obnoviteľné zdroje energie pre nízkoteplotné systémy*. Bratislava : JAGA GROUP s.r.o., 2009. 223s. ISBN 978-80-8076-075-5.
- [9] VAN NGUYEN, M. – ARASON, S. – GISSURARSON, M. – PÁLSSON, P. G. *Uses of geothermal energy in food and agriculture – opportunities for developing countries*. Rím : FAO, 2015. 60 s. ISBN 978-92-5-108656-8.
- [10] LUND, J. W. *Direct heat utilization of geothermal energy*. In: *Comprehensive renewable energy*. 2012. 4422 strán. Strany: 171 – 188. ISBN: 978-0-08-087873-7.
- [11] DUFFIELD, A. – SASS, H. J. 2003. *Geothermal energy – clean power from Earth's heat*. [online]. Virginia, U. S. Geological survey, 2003. 43 s. Dostupné na internete : <<https://pubs.usgs.gov/circ/2004/c1249/>> . ISBN 978-2-345-56931-8.
- [12] BROŽ, K. 2002. *Zásobování teplem*. Praha: Vydavatelství ČVUT, 2002. 217 s. ISBN 80-01-02521-7.
- [13] PETRÁŠ, D. a kol.: *Vykurovanie rodinných a bytových domov*. Jaga, Bratislava. 2005. 246 s.
- [14] FÁBER, A. a kol. 2012. *Atlas využívania obnovitelných zdrojov energie na Slovensku*. Bratislava : Energetické centrum Bratislava, 2012. 316 s. ISBN 978-80-969646-2-8.
- [15] ANSYS. *Ansys fluent theory guide*. [online]. Canonsbourg. 2013. 814 strán. Dostupné na internete: <<http://www.pmt.usp.br/academic/martoran/notasmodelosgrad/ANSYS%20Fluent%20Theory%20Guide%2015.pdf>>

Zahraničné odborné články

- [16] ALYIU, M. D. – CHEN, H. P. *Sensitivity analysis of deep geothermal reservoir: effect of reservoir parameters on production temperature*. In: *Energy*. 2017. Číslo: 129. Strany: 101-113. ISSN: 0360-5442. DOI: 10.1016/j.energy.2017.04.091.
- [17] LESSARD, N. CH. – POTVIN, F. M. – GOSELIN, L. *Geothermal power plants with maximized specific power output: optimal working fluid and operating conditions of subcritical and transcritical Organic rankine cycles*. In: *Geothermics*. 2016. Číslo: 64. Strany: 111 – 124. ISSN: 0375 – 6505. DOI: 10.1016/j.geothermics.2016.04.002.
- [18] TOMAROV, G. V. – SHIPKOV, A. A. *Modern geothermal power: binary cycle geothermal power plants*. In: *Thermal engineering*. 2017. Ročník: 64, číslo: 4. Strany: 243 – 250. ISSN: 0040-6015. DOI: 10.1134/s0040601517040097.

- [19] ASTOLFI, M. – ALFANI, D. – LASALA, S. – MACCHI, E. *Comparison between ORC and CO₂ power systems for the exploitation of low-medium temperature heat sources.* In: *Energy.* 2018. Číslo: 161. Strany: 1250 -1261. ISSN: 0360-5442. DOI: 10.1016/j.energy.2018.07.099.
- [20] LUND, J. W. – TOTH, A. N. *Direct utilization of geothermal energy 2020 worldwide review.* In: *Geothermics.* 2021. Ročník: 90, číslo: 2. Strany: 1 -31. ISSN: ISSN: 0375-6505. DOI: 10.1915/j.geothermics.2021.09.002.
- [21] FAHMY, F. – EL MADANY, H. – FARGHALLY, H. *Greenhouse heating systems based on geothermal energy.* In: *International journal of energy.* 2016. Číslo: 10. Strany: 1 -9. ISSN: 1998-4316.
- [22] JAVADI, H. – AJAROSTAGHI, S. S. M. – ROSEN, M. A. – POURFALLAH, M. *Performance of ground heat exchangers: A comprehensive review of recent advances.* In: *Energy.* 2019. Číslo: 178. Strany: 207 -233. ISSN: 0360-544. DOI: 10.1016/j.energy.2019.04.094.
- [23] YÜRÜSOYA, M, KEÇEBAŞ, A. *Advanced exergo-environmental analyses and assessments of a real district heating system with geothermal energy.* In: *Applied Thermal Engineering.* 2017. Číslo: 113. Strany: 449–459. ISSN: 1359-4311. DOI: 10.1016/j.aplthermaleng.2016.11.054.
- [24] KEÇEBAŞA, A, YABANOVAB, I, YUMURTACIC, M. *Artificial neural network modeling of geothermal district heating system thought exergy analysis.* In: *Energy Conversion and Management.* 2012. Číslo: 64. Strany: 206–212. ISSN: 0196-8904. DOI: 10.1016/j.enconman.2012.06.002.
- [25] HEPBASLI, A, KECEBAS, A. 2013. *A comparative study on conventional and advanced exergetic analyses of geothermal district heating systems based on actual operational data.* In: *Energy and Buildings.* Číslo: 61. Strany: 193–201. ISSN: 0378-7788. DOI: 10.1016/j.enbuild.2013.02.019.
- [26] WEMBO, H. – WENJIONG, C. – FANGMING, J. *A novel single-well geothermal system for hot dry rock geothermal energy exploitation.* In: *Energy.* 2018. Číslo: 162. Strany: 630-644. ISSN: 0360-5442. DOI: 10.1016/j. energy.2018.08.055.
- [27] ABUAISHA, M. – LORET, B. *Influence of hydraulic fracturing on impedance and efficiency of thermal recovery from HDR reservoirs.* In: *Geomechanics for energy and the environment.* 2016. Číslo: 7. Strany: 10 – 25. ISSN: 2352-3808. DOI: 10.1016/j.gete.2016.02.001.
- [28] EICHNER, T. – PETHUG, R. *EU-type carbon regulation and the waterbed effect of green energy promotion.* In: *Energy economics.* 2019. Číslo: 80. Strany: 656 -679. ISSN: 0140-9883. DOI: 10.1016/j.eneco.2019.01.019.

- [29] LYU, Z. – SONG, X. – LI, G. *An analytical method to determine rock spallation temperature and degree of heterogeneity in thermal spallation drilling for geothermal energy*. In: *Geothermics*. 2019. Číslo: 77. Strany: 99 – 105. ISSN:0375-6505. DOI: 10.1016/j.geothermics.2019.08.001.
- [31] ABUAISHA, M. – LORET, B. *Influence of hydraulic fracturing on impedance and efficiency of thermal recovery from HDR reservoirs*. In: *Geomechanics for energy and the environment*. 2016. Číslo: 7. Strany: 10 – 25. ISSN: 2352-3808. DOI: 10.1016/j.gete.2016.02.001.
- [31] ZHAO, J. *Changes in fluid flux and hydraulic head in a geothermal confined aquifer*. In: *Environmental earth sciences*. 2016. Číslo: 75. Strany: 1 – 12. ISSN: 1866-6280. DOI: 10.1017/s12665-016-5248-7.
- [32] ASAII, P. a kol. *Fluid flow distribution in fractures for a doublet system in Enhanced Geothermal Systems (EGS)*. In: *Geothermics*. 2018. Číslo: 75. Strany: 171 -179. ISSN: 0375-6505. DOI: 10.1016/j.geothermics.2018.05.005.
- [33] EICHNER, T. – PETHUG, R. *EU-type carbon regulation and the waterbed effect of green energy promotion*. In: *Energy economics*. 2019. Číslo: 80. Strany: 656 -679. ISSN: 0140-9883. DOI: 10.1016/j.eneco.2019.01.019.
- [34] GRUDA, N. – BISBIS, M. – TANNY, J. *Impacts of protected vegetable cultivation on climate change and adaptation strategies for cleaner production – a review*. In: *Journal of cleaner production*. 2019. Číslo: 225. Strany: 324 – 339. ISSN: 0959-6526. DOI: 10.1016/j.jclepro.2019.03.295
- [35] ARABKOOHSAR, A. – FARZANEH-GORD, M. – GHEZELBASH, R. – KOORY, R. N. N. *Energy consumption pattern modification in greenhouses by a hybrid solar-geothermal heating system*. In: *Brazilian society of mechanical sciences and engineering*. 2017. Číslo: 39. Strany: 631 – 643. DOI: 10.1007/s40403-016-0569-8.
- [36] TALER, D. – PITRY, R. – TALER, J. *Operation assessment of hybrid heat source for heating the building and preparation of hot water in the fire brigade building*. In: *Journal of cleaner production*. 2019. Číslo: 214. Strany: 962 – 974. ISSN: 0959-6526. DOI: 10.1016/j.jclepro.2018.12.259.
- [37] SELF, S. J., REDDY, B. V., ROSEN, M. A. *Geothermal heat pump systems: Status review and comparison with other heating options*. In: *Applied Energy*. 2013. Číslo 101. Strany: 341–348. ISSN: 0306-2619. DOI: 10.1016/j.apenergy.2012.01.048.

- [38] ZURMUHL, D. P. a kol. *Hybrid geothermal heat pump for cooling telecommunications data centers.* In: *Energy and buildings.* 2019. Číslo: 188 -189. Strany: 122 – 128. ISSN: 0378-7788. DOI: 10.1016/j.enbuild.2019.01.042.
- [39] ATLASON, R. S. – ODDSSON, G. V. – UNNTHORSSON, R. *Heat pumps in subarctic areas: current status and benefits of use in Iceland.* In: *Journal of energy environmental engineering.* 2017. Číslo: 8. Strany: 283 – 291. DOI: 10.1007/s40095-017-0244-6.
- [40] TORRES-RODRÍGUEZ, A. a kol. *Predicting the thermal behaviour of sands considering its moisture content and grain size with applications to geothermal heat pump installations.* In: *Energy and buildings.* Číslo: 194. Strany: 85 – 104. ISSN: 0378-7788. DOI: 10.1016/j.enbuild.2019.04.005.

Odborné články dostupné na internete, zborníky a články z časopisov

- [41] LUND, J, BOYD, T. L, 2015 *Direct Utilization of Geothermal Energy 2015 Worldwide Review.* In: *World Geothermal Congress 2015.* Melbourne, Austrália, 19-25 Apríl 2015. ISBN: 9781877040023.
- [42] BERTANIA, R. 2015. *Geothermal Power Generation in the World 2010-2014 Update Report.* In: *World Geothermal Congress 2015.* Melbourne, Austrália, 19-25 Apríl 2015. ISBN: 9781877040023.
- [43] HUTTRER, G. W. *Geothermal power generation in the world 2015-2020 update report.* In: *World Geothermal Congress 2020.* Reykjavík, Island, 26. Apríl – 2. Máj 2020. ISBN: 9781877040023.
- [44] JÓHANNESSEN, T. – CHATENAY, C. *Industrial applications of geothermal resources.* In: *Short course VI on utilization of low- and medium-entalphy geothermal.*
- [45] POPOVSKA, S. V. *Geothermal energy direct application in industry in Europe.* [online]. 2010. Dostupné na internete: <https://www.geothermal-energy.org/pdf/IGAstandard/ISS/2001Romania/popovska.pdf>.
- [46] MUGNOZZA, G. S. a kol. *Use of low-enthalphy geothermal resources for greenhouse heating: an experimental study.* In: *Acta scientiarum polonorum Technica Agraria.* [online]. 2012. Ročník: 11, číslo: 1-2. Strany: 13 – 19. Dostupné na internete: <http://www.acta.media.pl/pl/action/getfull.php?id=3215>.
- [47] POPOVSKI, K, VASILEVSKA, S. P. *Heating greenhouses with geothermal energy.* International Geothermal Workshop, Rusko. 2003.

- [48] RAGNARSSON, Á. *Geothermal energy in aquaculture*. In: *Short course VI on utilization of low-and medium-enthalphy geothermal resources and financial aspects of utilization*. Santa Tecla, Salvádor, 23. – 29. Marec 2014.
- [49] CHIASSON, A. D. *Residential swimming pool heating with geothermal energy with geothermal heat pump system*. [online]. 2016. Dostupné na internete:
- [50] ROUMI, S. a kol. *Direct applications of geothermal energy: economic and environmental assessment*. In: *42nd workshop on geothermal reservoir energy*. Stanford, Kalifornia. 13. – 15. februára 2017. SGP-TR-212.
- [51] SETYAWAN, N. D. a kol. *Energy and exergy analysis of dry-steam geothermal power plant: case study in kamojang geothermal power plantu nit 2*. In: *AASEC 2018*. 2018. MATEC web of conferences. [online]. Číslo: 197. 5 strán. Dostupné na internete: <<https://doi.org/10.1051/matecconf/201819708018>>.
- [52] RAGNARSSON, Á. *Geothermal energy in aquaculture*. In: *Short course VI on utilization of low-and medium-enthalphy geothermal resources and financial aspects of utilization*. Santa Tecla, Salvádor, 23. – 29. Marec 2014.
- [53] TAKÁCS, J. *Skleníkové hospodárstvo v Hornej Potôni*. In. ASB. 2015. [online]. Dostupné na internete: <<https://www.asb.sk/tzb/vykurovanie/sklenikove-hospodarstvo-v-hornej-potoni>>.
- [54] BONDARENKOVA, Z. 1996.: *Vyhodnotenie geotermálneho vrtu VHP-12-R a hydrogeologického (pomocného) vrtu HG-1*. Košice. 1996. 55 s.
- [55] TAKÁCS, J. *Horná Potôň úspešne využíva geotermálnu energiu pre vykurovanie najväčšieho skleníkového hospodárstva na Slovensku*. In *ATP journal*. 2015. [online]. Dostupné na internete: <http://www.atpjurnal.sk/budovy/rubriky/aplikacie/horna-poton-uspesne-vyuziva-geotermalnu-energiu-pre-vykurovanie-najvacsieho-sklenikoveho-hospodarstva-na-slovensku.html?page_id=21479>.
- [56] TOMETZ, L. - DUGÁČEK, D. *Potenciál podzemných vôd Slovenska ako obnoviteľných zdrojov energie*. In: *Acta Montanistica Slovaca*. 2010. Ročník: 15, mimoriadne číslo: 2. Strany: 116-125. ISSN: 1335-1788.
- [57] GAŽÍKOVÁ, S. – TAKÁCS, J. – KRAJČÍK, M. *Improving the efficiency of geothermal energy use for recreation and balneology: a case study of SPA Kremnica*. In: *Russian journal of construction science and technology*. 2018. Číslo: 2. 8 strán. ISSN: 2413-5933.

- [58] KEPIŃSKA, B. – PAJAK, L. – BUJAKOWSKI, W. a kol. *Geothermal utilization potential in Poland – the town Podebice part 2. Selected energetic aspects of current and future geothermal district heating in Podebice*. [online]. 2017. Dostupné na internete: <<https://www.researchgate.net/publication/325896885> GEOTHERMAL UTILIZATION POTENTIAL IN POLAND THE TOWN PODDEBICE Part 2 Selected energetic aspects of current and future geothermal district heating in Poddebice>.
- [59] HALÁS, O. 2009. Nové projekty využitia geotermálnej energie pre sústavy centralizovaného zásobovania teplom na Slovensku. In *Vodohospodársky spravodajca*. ISSN 0322-886X, 2009, roč. 52, č. 7-8, s. 8-11.
- [60] SLOVGEOTERM a.s. *Využitie geotermálnej energie na vykurovanie v meste Veľký Meder*. 2016. Súhrnná technická správa.
- [61] SLOVGEOTERM a.s. *Situácia geotermálneho vrtu VM-1*. 2016. Príloha č. 1 k technickej správe.
- [62] TAKÁCS J. – GAŽÍKOVÁ, S. – DERZSI, I.: *Otvorený geotermálny energetický systém pre zásobovanie teplom v meste Veľký Meder*. Vypápení, větrání a instalace 2/2019.
- [63] TAKÁCS, J. - GAŽÍKOVÁ, S.: Nasledovania hodný príklad riešenia geotermálneho energetického systému pre zásobovanie teplom mesta Veľký Meder. In *Vykurovanie 2019 [elektronický zdroj] : zborník prednášok z 27. medzinárodnej vedecko-odbornej konferencie na tému - Smart technológie a inovácie pri zásobovaní teplom. Podbanské, Vysoké Tatry, 1. - 5. apríl 2019*. 1. vyd. Bratislava: SSTP, 2019, CD-ROM, s. 193-198. ISBN 978-80-89878-42-0.
- [64] KUDELAS, D. *Základy počítačového modelovania, prúdenia a vizualizácií*. [online]. Manuskript. Dostupné na internete: <<https://ooze.fberg.tuke.sk/wp-content/uploads/2017/12/Zaklady-numerickeho-modelovania-prudenia-1.pdf>>.
- [65] IPEK, O. – KAN, M, GUREL, B. *Examination of different heat exchangers and the thermal activities od different designs*. In: *Acta physica polonica*. 2017. Objem: 132, číslo: 3. s:580 – 584. [online]. Dostupné na internete: <https://www.researchgate.net/profile/Baris-Guerel/publication/320320563_Examination_of_Different_Heat_Exchangers_and_the_Thermal_Activities_of_Different_Designs/links/59e3d23a458515393d5b95bb/Examination-of-Different-Heat-Exchangers-and-the-Thermal-Activities-of-Different-Designs.pdf>.
- [66] WANG, Y. - LEE, J. – PARK, M et all. *A study on 3D numerical model for plate heat exchanger*. In: *13th Global congress on manufacturing and management*. 2016. strany: 188 – 194. [online].

Dostupné na internete: <file:///C:/Users/Sona/Desktop/a-study-on-3d-numerical-model-for-plate-heat-exchanger.pdf>.

- [67] HRUDKA, Jaroslav. Analýza dosadzovacích nádrží pomocou matematického modelovania. 1. vyd. Bratislava : Spektrum STU, 2017. CD-ROM, 112 s. Edícia vedeckých prác, zošit č. 168. ISBN 978-80-227-4739-4.
- [68] REMŠÍK, A. *Prehľad zdrojov geotermálnej vody na Slovensku*. In: *Geologické práce – správy 119*. 2012. s. 21-33. ISSN: 0433-4795.
- [69] BLANÁROVÁ, V. – FENDEK, M. – FRIČOVSKÝ, B. *Využitie vodných geotermometrov v geotermálnom výskume popradskej kotliny*. In: *Podzemná voda*. 2016., 22. ročník., č. 1. strany 73-83.
- [70] BAČOVÁ, N.– ŽENIŠOVÁ, Z. – MICHALKO, J. *Chemické zloženie vód Dudiniec, Santovky a Slatiny*. In: *Podzemná voda*. 2015., 21. ročník. č. 2 strany 63-82.
- [71] FRANKO, O.– FUSÁN, O. – KRÁL, M. *Prehľad hydrogeotermálnych pomerov Slovenska*. In: *Podzemná voda*. 1995., 11. ročník. č. 1 strany 41- 67.
- [72] ZAKOVIČ, M.– POTFAJ, M.– FENDEK,M. – BODIŠ, D. *Jodo - Brómové podzemné vody v pblasti Oravskej polhory*. In: *Podzemná voda*. 2009., 15. ročník. č. 2. strany 230 - 239.

Normy, vyhlášky, zákony, smernice

- [73] Smernica európskeho parlamentu a rady č. 31/2010. *Smernica o energetickej hospodárnosti budov č. 31/2010*.
- [74] Smernica európskeho parlamentu a rady 2009/28/ES z 23. apríla 2009. *Smernica o podpore využívania energie z obnoviteľných zdrojov energie a o zmene a doplnení a následnom zrušení smerníc 2001/77/ES a 2003/30/ES*.
- [75] Európska smernica 2012/27/EU smernica európskeho parlamentu a rady z 25. 10. 2012. *Smernica o energetickej účinnosti a zmene smerníc 2009/125/ES a 2010/30/EU a zrušení smerníc 2004/8/ES a 2006/32/ES*.
- [76] Európska smernica 2000/60/ES európskeho parlamentu a rady z 23. 10. 2000. *Smernica, ktorou sa stanovuje rámec pôsobnosti pre opatrenia spoločenstva v oblasti vodného hospodárstva*.
- [77] Smernica európskeho parlamentu a rady 2006/118/ES z 12. 12. 2006. *Smernica o ochrane podzemných vód pred znečistením a zhoršením kvality vód*.

- [78] Zákon NR SR č. 656/2004 Z. z. *Zákon o energetike*.
- [79] Zákon NR SR č. 377/2018. *Zákon o podpore obnoviteľných zdrojov energie a vysokoúčinnej kombinovanej výroby*, ktorým sa mení Zákon č. 309/2009.
- [80] *Výnos ÚRSO č. 2/2008 a jeho novely. Výnos, ktorým sa ustanovuje regulácia energetiky a cien v energetike*.

Internetové zdroje, firemná literatúra a ostatné zdroje

- [81] Ministerstvo hospodárstva a výstavby SR. 2010. *Národný akčný plán pre energiu z obnoviteľných zdrojov*. [online]. Slovenská republika, 2010. 74 s. Dostupné na internete: <<https://economy.gov.sk/narodny-akcny-plan-pre-energiu-z-obnoviteľnych-zdrojov>>
- [82] EUROSTAT. *Share of renewable energy in gross final energy consumption*. [online]. Dostupné na internete: <https://ec.europa.eu/eurostat/tgm/table.do?tab=table&init=1&language=en&pcode=t2020_31&pligin=1> .
- [83] POTOČÁR, R. 2018. *Podiel obnoviteľných zdrojov energie na Slovensku klesol*. [online]. In: *Energie-postal.sk*. 2018. Dostupné na internete: <<https://www.energie-portal.sk/Dokument/podiel-obnovitelnych-zdrojov-energie-na-slovensku-klesol-104214.aspx>>.
- [84] DARLING-e. *Summary report on EU legislation and policies, best practices regarding the direct use of deep geothermal energy*. [online]. 2018. Dostupné na internete: <http://www.interreg-danube.eu/uploads/media/approved_project_output/0001/19/0b96757b8b6019c1063e3dcfc8f96d9fb57655e0.pdf>.
- [85] EUROPEAN GEOTHERMAL ENERGY COUNCIL. *Environmental legislation*. In: *egec.org*. [online]. 2018. Dostupné na internete: <<https://www.egec.org/area/environmental-legislation/>>.
- [86] IRENA. *Renewable capacity statistics 2019*. 2019. 60 strán. [online]. ISBN: 978-92-9260-123-2. Dostupné na internete: <https://www.irena.org//media/Files/IRENA/Agency/Publication/2019/Mar/IRENA_RE_Capacity_Statistics_2019.pdf>.
- [87] IRENA. *Geothermal power: technology brief*. 2017. 28 strán. [online]. ISBN: 978-92-9260-036-5. Dostupné na internete: <<https://www.irena.org/publications/2017/Aug/Geothermal-power-Technology-brief>>.

- [88] ICEIDA. *Geothermal binary power plants: preliminary study of low temperature utilization, cost estimates and energy cost.* [online]. 2014. 85 strán. Dostupné na internete: <<http://www.verkis.com/>>.
- [89] GEODH. *MBFSZ maps.* [online]. 2015. Dostupné na internete: <[https://map.mbfesz.gov.hu/geo DH/](https://map.mbfesz.gov.hu/geo_DH/)>.
- [90] GeoDH. *Geothermal DH potential in Europe.* [online]. 2014. Dostupné na internete: <<http://geodh.eu/wp-content/uploads/2014/11/GeoDH-Report-D-2.2-final.pdf>>.
- [91] GeoDH. *Developing geothermal district heating in europe.* [online]. 2014. Dostupné na internete: <http://geodh.eu/wp-content/uploads/2012/07/GeoDH-Report-2014_web.pdf>.
- [92] Podklad spracovaný samostatne na základe dokumentácie z kontrolného PC pre systém vo Veľkom Mederi, ktorý pracuje v kontrlom softvéri Niagara
- [93] Vlastná fotodokumentácia z kotolne Stred I. vo Veľkom Mederi.
- [94] Štátny geologický ústav Dzonýza Štúra. *Atlas geotermálnej energie Slovenska.* 1995. Dostupné na internete: <https://apl.geology.sk/mapportal/img/pdf/atlas_ge_sj_text.pdf>.
- [95] *Minerálne pramene Slovenskej republiky (stav k 20. 5. 1999).* Údaje o rôznych vrtoch s pomocou stránky dostupnej na linku: <<http://old.sazp.sk/slovak/struktura/ceev/DPZ/pramene/pramene.html#mapa>>.
- [96] Slovenský hydrometeorologický ústav. *Komplexný monitorovací systém životného prostredia Slovenskej republiky. Čiastkový monitorovací systém – voda.* 2002.
- [97] Piešťany. *Geotermálny zdroj Piešťany – vrt GTP-1.* Dostupné na internete: <<https://www.enviroportal.sk/en/eia/detail/geothermalny-zdroj-piestany-vrt-gtp-1>>.
- [98] Rozhodnutia ministerstva zdravotníctva a povolení využívať vrty, všetky sú dostupné na internete.
- [99] Rôzne výročné správy VÚVH dostupné na stránke: <<http://www.vuvh.sk/?pid=11>>.
- [100] Informácie o vrte VZO-13. Dostupné na internete: <<http://old.sazp.sk/slovak/struktura/ceev/DPZ/pramene/kn/ontopa.jpg>>.
- [101] Mapa Slovenska pre určovanie súradníc vrtov dostupná na internete: <<https://mapa.zoznam.sk/>>.
- [102] LUND, J. *Geothermal district heating.* Dostupné na internete: <https://www.energy.gov/sites/prod/files/2015/07/f24/10-District-Heating---J-Lund_0.pdf>.

Zoznam publikovaných prác

ADE Vedecké práce v ostatných zahraničných časopisoch

- ADE01 GAŽÍKOVÁ, Soňa - TAKÁCS, Ján. Analysis of the using geothermal energy for spa in Kremnica. In *Magyar Épületgépészeti*. Vol. 67, no. 1-2 (2018), s. 12-16. ISSN 1215-9913.
- ADE02 GAŽÍKOVÁ, Soňa - TAKÁCS, Ján - KRAJČÍK, Michal. Improving the efficiency of geothermal energy use for recreation and balneology: a case study of SPA Kremnica. In *Russian Journal of Construction Science and Technology [elektronický zdroj]*. No. 2 (2018), online, [8] s. ISSN 2413-5933.
- ADE03 TAKÁCS, Ján - GAŽÍKOVÁ, Soňa - DERZSI, István. Otvorený geotermálny energetický systém pre zásobovanie teplom v meste Veľký Meder. In *Vytápení, větrání, instalace*. Roč. 28, č. 2 (2019), s. 82-86. ISSN 1210-1389 (2019: 0.167 - SJR, Q4 - SJR Best Q).

AFA Publikované pozvané príspevky na zahraničných vedeckých konferenciách

- AFA01 TAKÁCS, Ján - GAŽÍKOVÁ, Soňa. Open geothermal energy system for the heat supply in Veľký Meder. In *EXPRES 2018 [elektronický zdroj] : proceedings of the 10th International Symposium on Exploitation of Renewable Energy Sources and Efficiency. Subotica, Serbia, April 05-07, 2018*. 1. vyd. Subotica : Inženiersko-tehničko udruženie vojvodanskih Mađara, 2018, CD-ROM, 17-20 s. ISBN 978-86-919769-3-4.
- AFA02 TAKÁCS, Ján - GAŽÍKOVÁ, Soňa. Assessment of suitability for the usage of geothermal energy for production electric energy in Slovakia. In *EXPRES 2019 [elektronický zdroj] : proceedings of the 11th international symposium on Exploitation of Renewable Energy Sources and Efficiency. April 11-13, 2019, Subotica, Serbia*. 1. vyd. Subotica : Inženiersko-tehničko udruženie vojvodanskih Madara, 2019, CD ROM, s. 105-110. ISBN 978-86-919769-4-1.

AFC Publikované príspevky na zahraničných vedeckých konferenciách

- AFC01 TAKÁCS, Ján - DERZSI, István - GAŽÍKOVÁ, Soňa. A nagymegyeri geotermális energetikai rendszer elemzése. In *ÉPKO 2018 : 22nd International Conference on Civil Engineering and Architecture. Sumuleu Ciuc, 31 May - 3 June 2018, XXII. Nemzetközi építéstudományi konferencia*. Cluj : Hungarian Technical Scientific Society of Transylvania, 2018, S. 224-227. ISSN 1843-2123.

AFC02 TAKÁCS, Ján - GAŽÍKOVÁ, Soňa. A hévízzel töltött medencék energetikai elemzése és a hőviszanyerés lehetőségei. In *ÉPKO 2019 : 23rd International Conference on Civil Engineering and Architecture. Sumuleu Ciuc, 13-16 June 2018*, XXIII. Nemzetközi építéstudományi konferencia. Cluj : Hungarian Technical Scientific Society of Transylvania, 2019, S. 137-140. ISSN 1843-2123.

AFD Publikované príspevky na domácich vedeckých konferenciách

- AFD01 GAŽÍKOVÁ, Soňa. Možnosti využívania geotermálnej energie na výrobu elektrickej energie. In *Obnoviteľné zdroje energie 2018 [elektronický zdroj] : zborník prednášok z 18. vedecko-odbornej konferencie so zahraničnou účasťou na tému "Nízkoteplotné systémy zásobovania teplom"*. Nový Smokovec, SR, 16. - 17. 5. 2018. 1. vyd. Bratislava : SSTP, 2018, CD-ROM, s. 71-76. ISBN 978-80-89878-24-6.
- AFD02 GAŽÍKOVÁ, Soňa - TAKÁCS, Ján. Utilization of geothermal energy in heating systems. In *Indoor Climate of Buildings 2019 [elektronický zdroj] : Energy Management for better Indoor Environment. Nový Smokovec, Slovakia, 8. - 11. December 2019*. 1. vyd. Bratislava : SSTP, 2019, CD-ROM, s. 209-216. ISBN 978-80-89878-55-0.
- AFD03 GAŽÍKOVÁ, Soňa. Využitie otvoreného geotermálneho systému pre centralizované zásobovanie teplom na Slovensku. In *Advances in Architectural, Civil and Environmental Engineering [elektronický zdroj] : 29th Annual PhD Student Conference on Applied Mathematics, Applied Mechanics, Building Technology, Geodesy and Cartography, Landscaping, Theory and Environmental Technology of Buildings, Theory and Structures of Buildings, Theory and Structures of Civil Engineering Works, Water Resources Engineering. October 16th 2019, Bratislava*. 1. vyd. Bratislava : Spektrum STU, 2019, CD-ROM, s. 202-209. ISBN 978-80-227-4972-5.
- AFD04 GAŽÍKOVÁ, Soňa. Zhodnotenie využívania geotermálnej energie vo Veľkom Mederi z energetického hľadiska. In *Advances in Architectural, Civil and Environmental Engineering [elektronický zdroj] : 30th Annual PhD Student Conference on Applied Mathematics, Applied Mechanics, Building Technology, Geodesy and Cartography, Landscaping, Theory and Environmental Technology of Buildings, Theory and Structures of Buildings, Theory and Structures of Civil Engineering Works, Water Resources Engineering. October 14th 2020, Bratislava, Slovakia*. 1. vyd. Bratislava : Spektrum STU, 2020, CD-ROM, s. 260-267. ISBN 978-80-227-5052-3.
- AFD05 TAKÁCS, Ján - GAŽÍKOVÁ, Soňa. Modelovanie výmenníkov tepla v geotermálnych systémoch v poľnohospodárstve. In *Vykurovanie 2018 [elektronický zdroj] : zborník prednášok z 26. medzinárodnej vedecko-odbornej konferencie na tému*

Nové trendy v zásobovaní budov teplom. Podbanské, SR, 12. - 16. 2. 2018. 1. vyd.
Bratislava : SSTP, 2018, CD-ROM, s. 183-186. ISBN 978-80-89878-20-8.

- AFD06 TAKÁCS, Ján - GAŽÍKOVÁ, Soňa. Nasledovania hodný príklad riešenia geotermálneho energetického systému pre zásobovanie teplom mesta Veľký Meder. In *Vykurovanie 2019 [elektronický zdroj] : zborník prednášok z 27. medzinárodnej vedecko-odbornej konferencie na tému - Smart technológie a inovácie pri zásobovaní teplom. Podbanské, Vysoké Tatry, 1. - 5. apríl 2019. 1. vyd.* Bratislava : Slovenská spoločnosť pre techniku prostredia, 2019, CD-ROM, s. 193-198. ISBN 978-80-89878-42-0.
- AFD07 TAKÁCS, Ján - GAŽÍKOVÁ, Soňa. Koncepcia a návrh využívania odpadového tepla z bazénových hospodárstiev. In *Obnoviteľné zdroje energie 2019 [elektronický zdroj] : zborník prednášok z 19. vedecko-odbornej konferencie so zahraničnou účasťou na tému "Zásobovanie teplom budov s nulovou potrebou energie". Nový Smokovec, SR, 16. - 17. 5. 2019. 1. vyd.* Bratislava : SSTP, 2019, CD-ROM, s. 61-66. ISBN 978-80-89878-45-1.
- AFD08 TAKÁCS, Ján - GAŽÍKOVÁ, Soňa. Využitie geotermálnej energie pre centralizované zásobovanie teplom mesta Veľký Meder. In *Meranie a rozpočítanie tepla 2019 [elektronický zdroj] : zborník prednášok z 19. konferencie s medzinárodnou účasťou. Senec, SR, 7. - 8. november 2019. 1. vyd.* Bratislava : SSTP, 2019, CD-ROM, s. 125-131. ISBN 978-80-89878-52-9.

AFH Abstrakty príspevkov z domácich konferencií

- AFH01 GAŽÍKOVÁ, Soňa. Matematický model a simulácie v geotermálnom energetickom systéme vo Veľkom Mederi. In *Zborník abstraktov z 31. ročníka vedeckej konferencie Vnútorná klíma budov 2020 : vnútorné prostredie budov, 1.-2. december 2020, online.* 1. vyd. Bratislava : Slovenská spoločnosť pre techniku prostredia, 2020, S. 61-62. ISBN 978-80-89878-68-0.

BEE Odborné práce v zahraničných zborníkoch (konferenčných aj nekonferenčných)

- BEE01 TAKÁCS, Ján - GAŽÍKOVÁ, Soňa - DERZSI, István. Geotermálny energetický systém pre zásobovanie teplom v meste Veľký Meder. In *Alternativní zdroje energie 2018 : sborník přednášek. Kroměříž, ČR, 20. a 21. června 2018. 1. vyd.* Praha : Společnost pro techniku prostředí, 2018, S. 219-226. ISBN 978-80-02-02805-5.